

Pružnost a pevnost

Seminární práce

Téma: Výpočet maximálního momentu v průřezu pro materiál se změkčením, aplikace na nadkriticky vyztužený železobetonový průřez, zkoumání rozměrového efektu.

Vedoucí práce: Prof. Ing. Milan Jirásek, DrSc.

Vypracoval: Jan Havelka

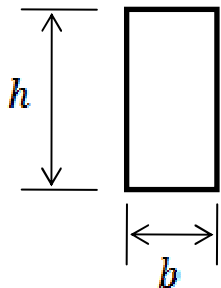
12. ledna 2010

1. Výpočet maximálního momentu v průřezu pro materiál se změkčením
2. Rozměrový efekt
3. Aplikace na nadkriticky vyztužený železobetonový průřez

1. Výpočet maximálního momentu v průřezu pro materiál se změkčením
2. Rozměrový efekt
3. Aplikace na nadkriticky vyztužený železobetonový průřez

Základní předpoklady:

— Průřez



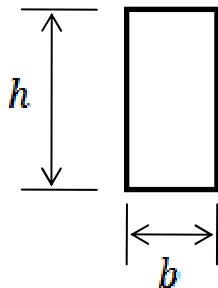
1. Výpočet maximálního momentu v průřezu pro materiál se změkčením

2. Rozměrový efekt

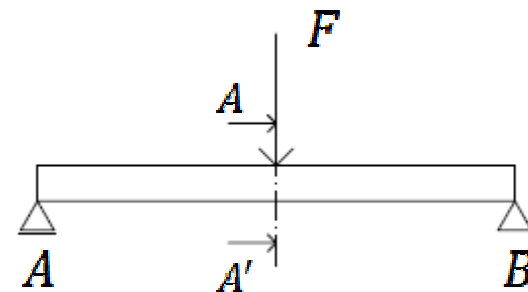
3. Aplikace na nadkriticky vyztužený železobetonový průřez

Základní předpoklady:

– Průřez



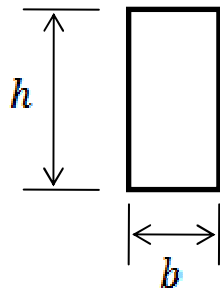
– Zatížení, vyšetřovaný průřez



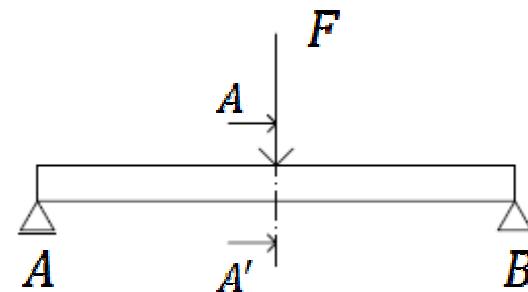
1. Výpočet maximálního momentu v průřezu pro materiál se změkčením
2. Rozměrový efekt
3. Aplikace na nadkriticky vyztužený železobetonový průřez

Základní předpoklady:

– Průřez

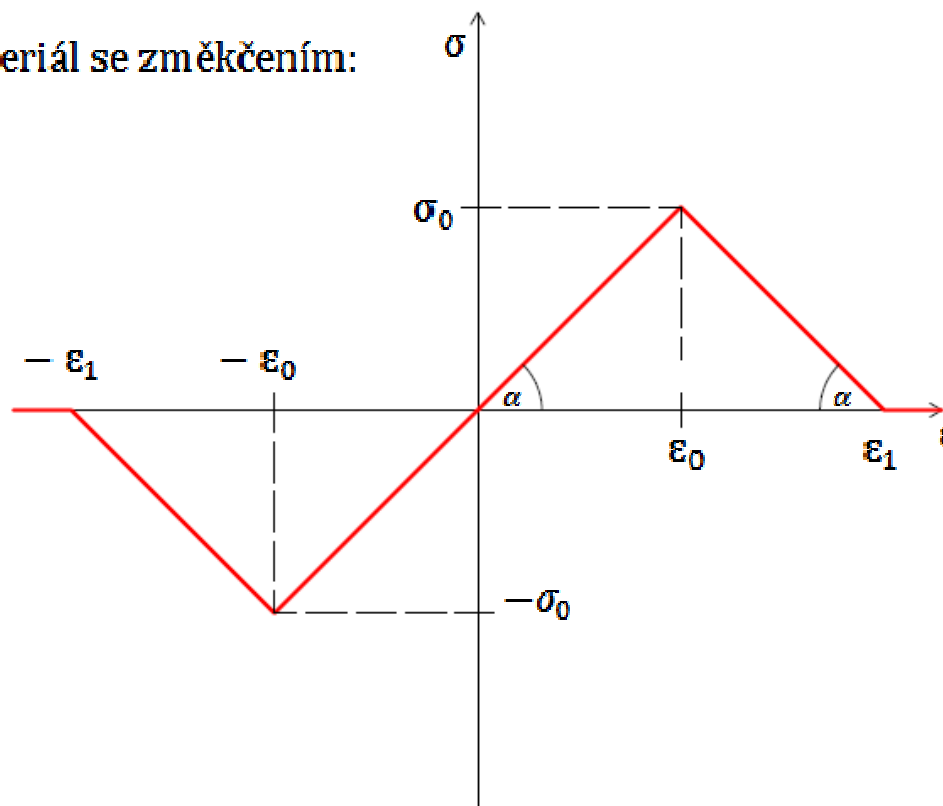


– Zatížení, vyšetřovaný průřez

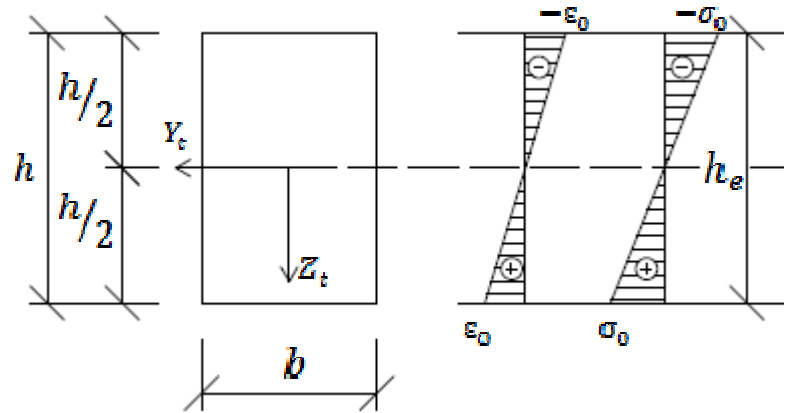
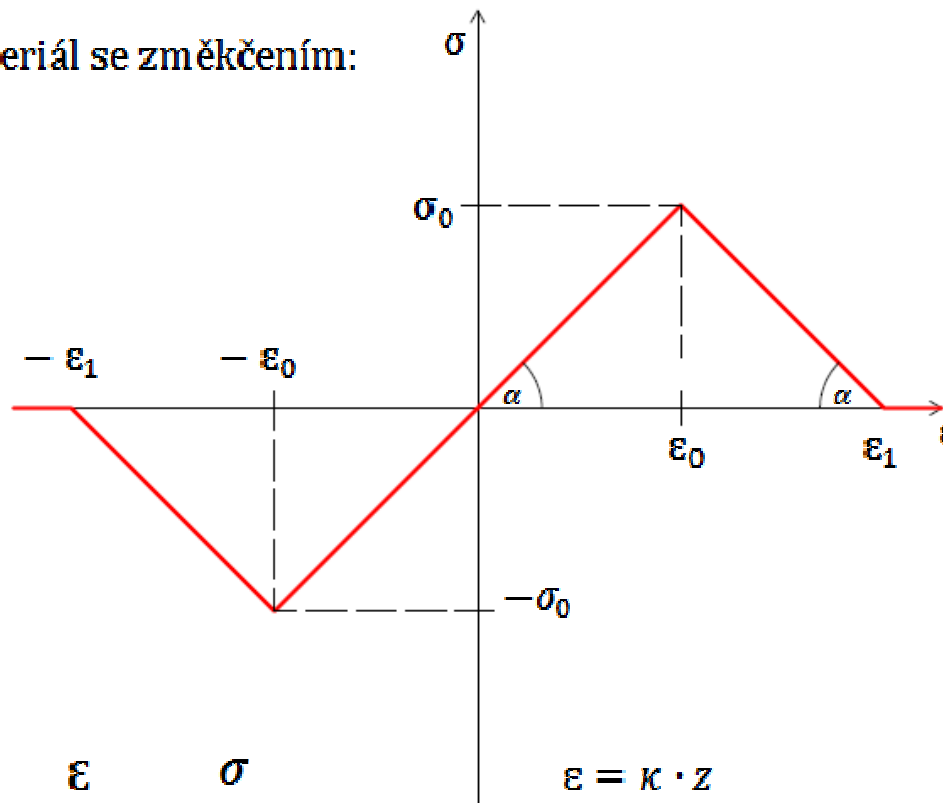


– Pracovní diagram

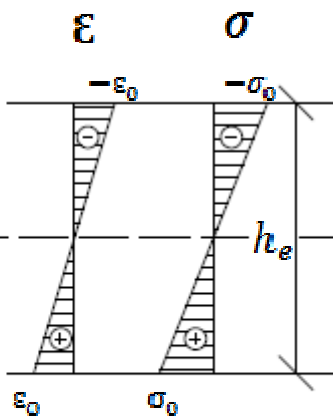
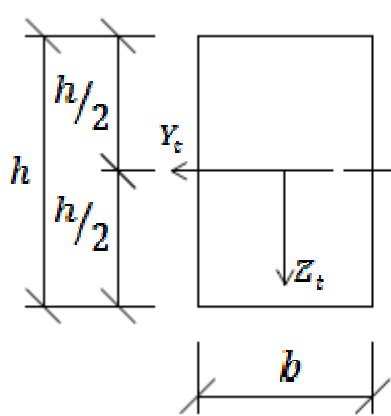
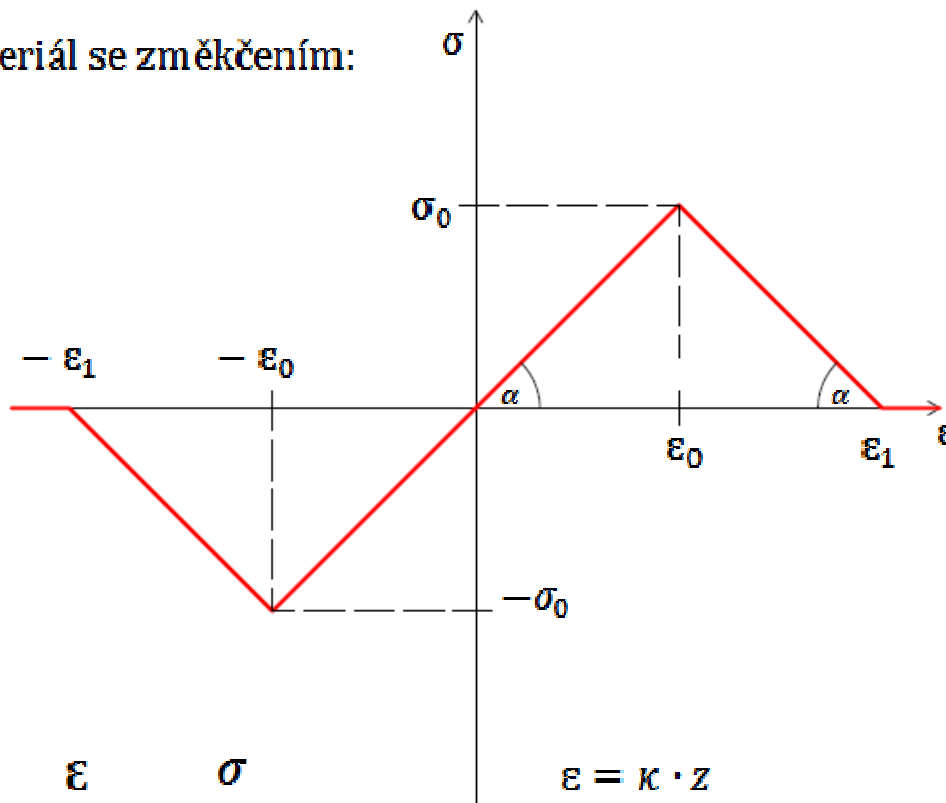
Výpočet momentu pro materiál se změkčením:



Výpočet momentu pro materiál se změkčením:



Výpočet momentu pro materiál se změkčením:



$$\varepsilon = K \cdot z$$

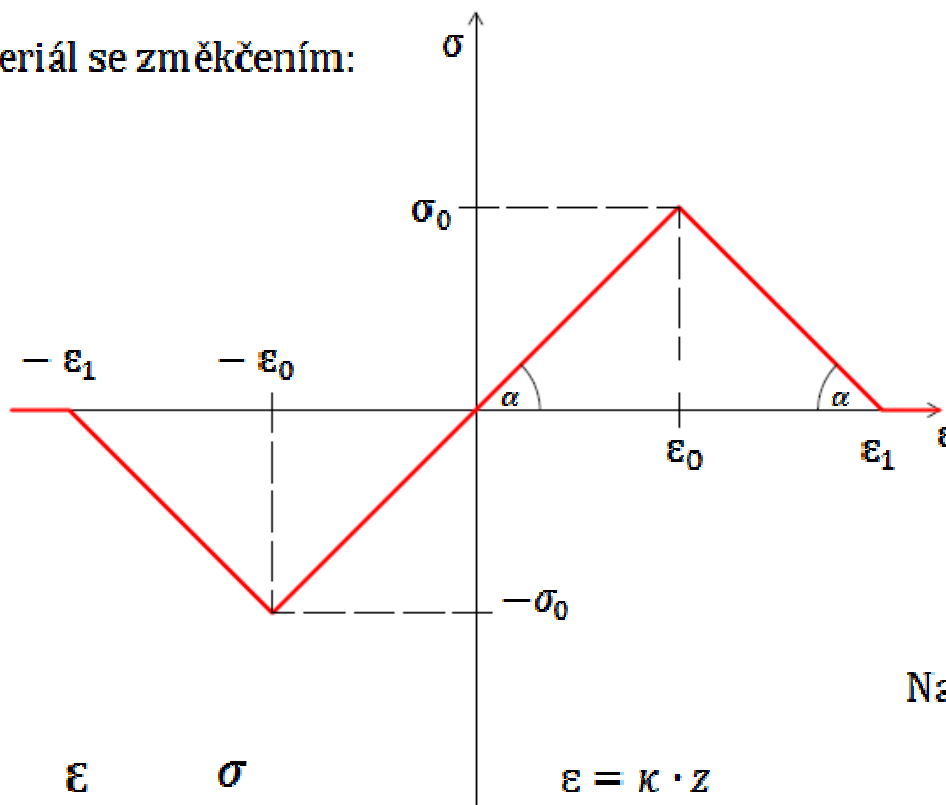
$$\varepsilon_0 = K \cdot \frac{h_e}{2}$$

$$K = \frac{2\varepsilon_0}{h_e}$$

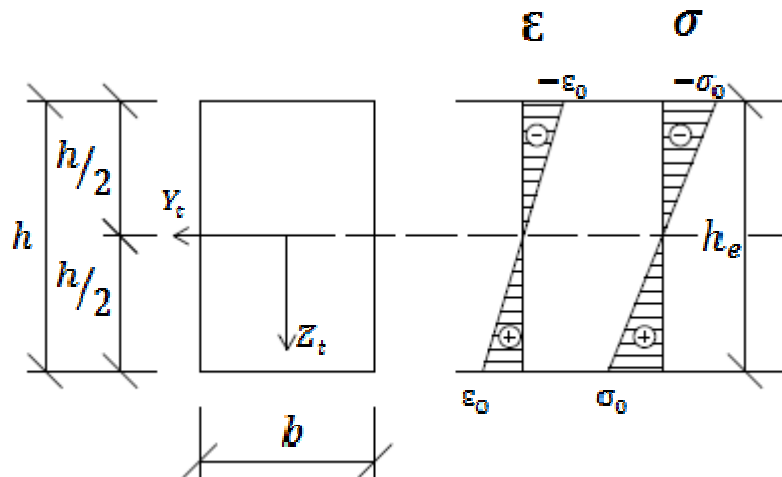
$$h_e \rightarrow h$$

$$K = \frac{2\varepsilon_0}{h}$$

Výpočet momentu pro materiál se změkčením:



Napětí v průřezu:



$$\varepsilon = \kappa \cdot z$$

$$\varepsilon_0 = \kappa \cdot \frac{h_e}{2}$$

$$\kappa = \frac{2\varepsilon_0}{h_e}$$

$$h_e \rightarrow h$$

$$\kappa = \frac{2\varepsilon_0}{h}$$

$$\sigma = E \cdot \varepsilon$$

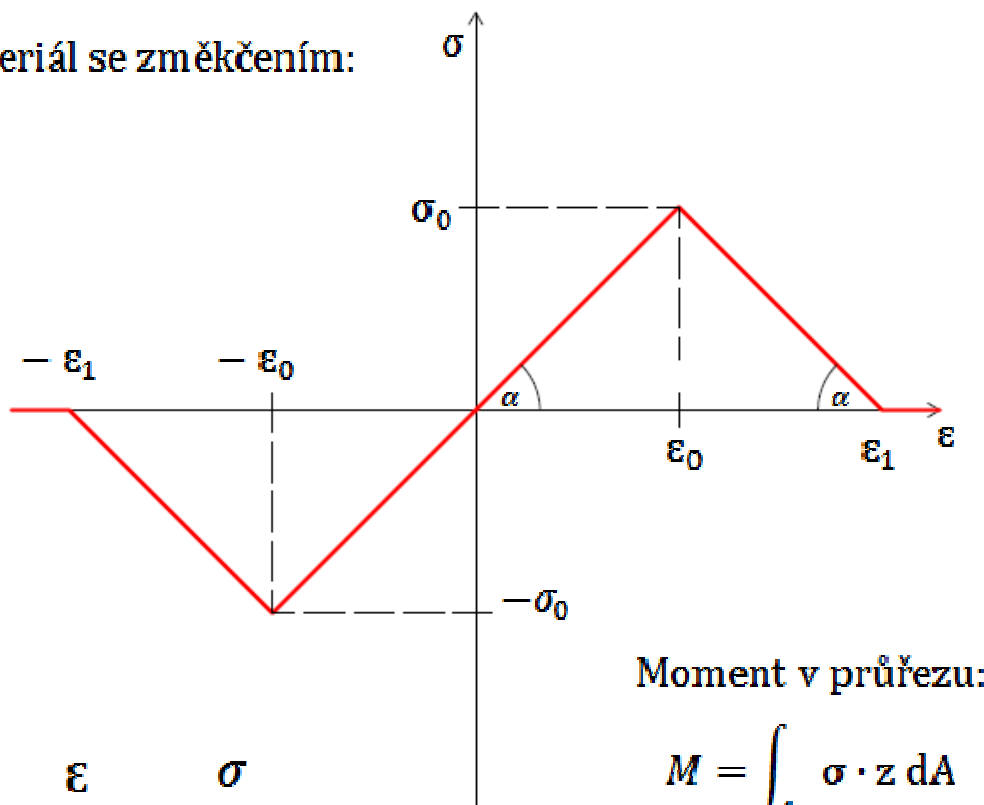
$$\sigma_0 = E \cdot \varepsilon_0$$

$$\varepsilon_0 = \frac{\sigma_0}{E}$$

$$\sigma = E \cdot \frac{2\sigma_0}{h_e} \cdot z$$

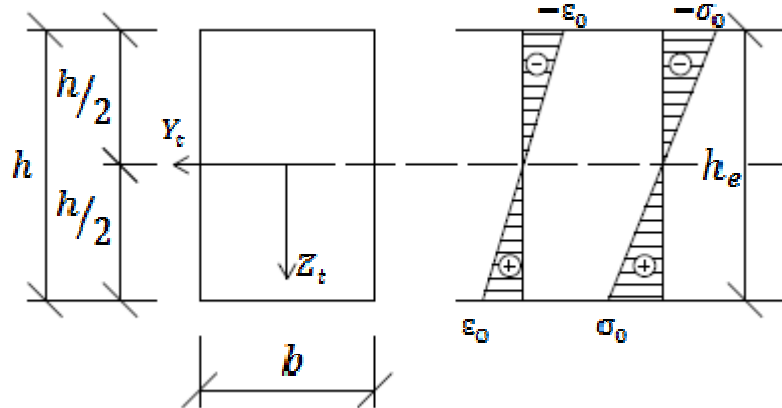
$$\sigma_{el} = \frac{2\sigma_0}{h_e} \cdot z$$

Výpočet momentu pro materiál se změkčením:

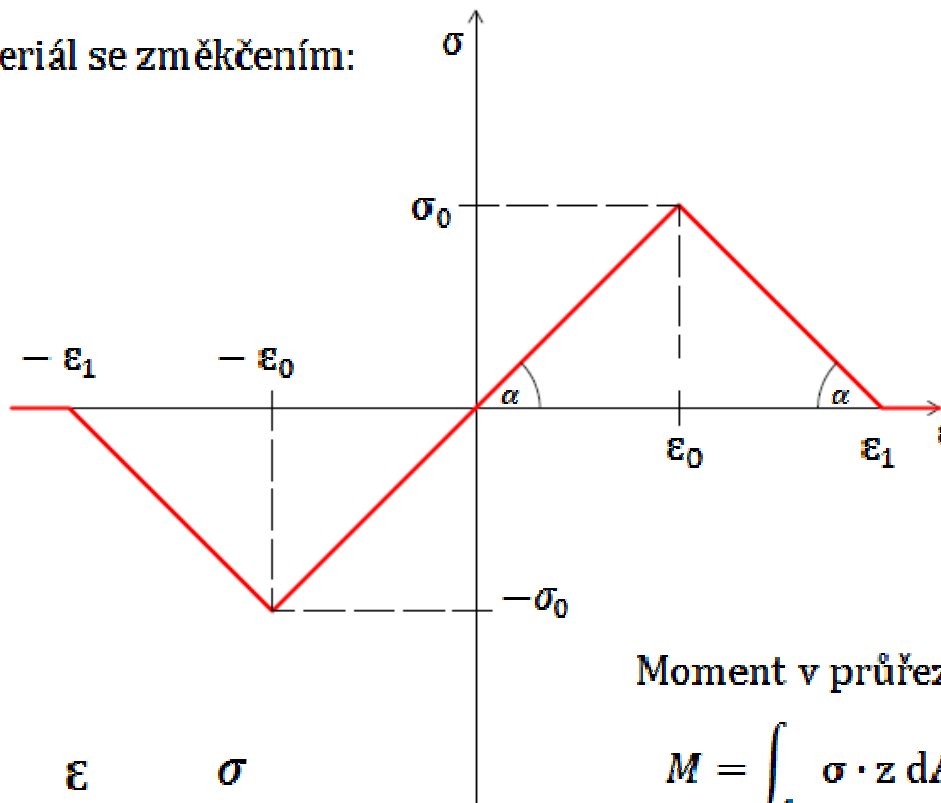


Moment v průřezu:

$$M = \int_A \sigma \cdot z \, dA$$



Výpočet momentu pro materiál se změkčením:

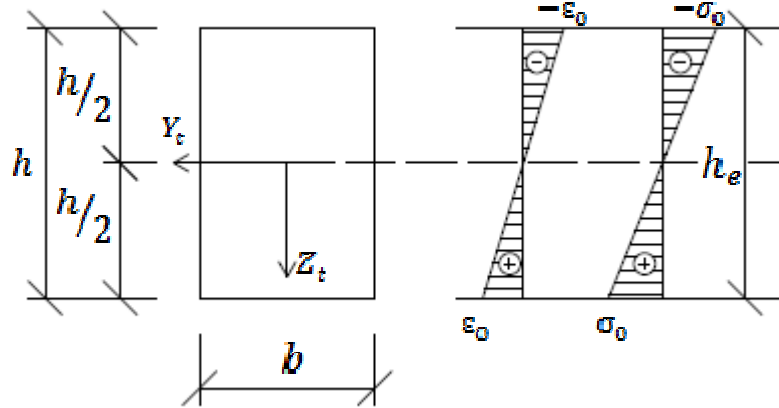


Moment v průřezu:

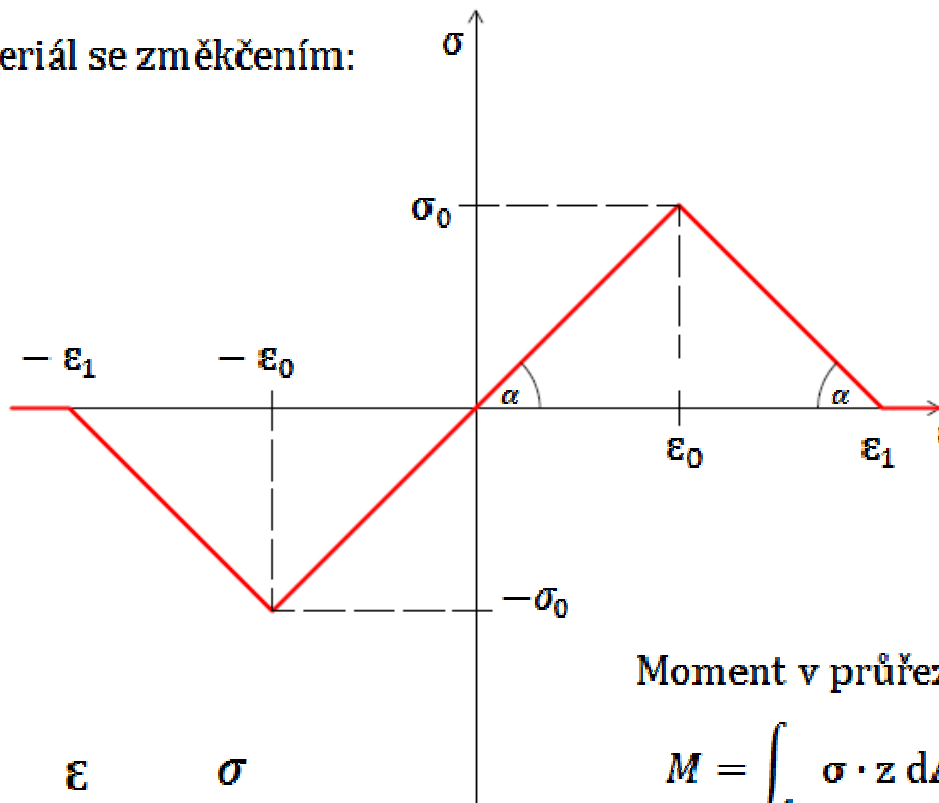
$$M = \int_A \sigma \cdot z \, dA$$

$$M = 2b \int_0^{\frac{h_e}{2}} \frac{2\sigma_0}{h_e} \cdot z^2 \, dz$$

$$M = \frac{\sigma_0 b h_e^2}{6}$$



Výpočet momentu pro materiál se změkčením:



Moment v průřezu:

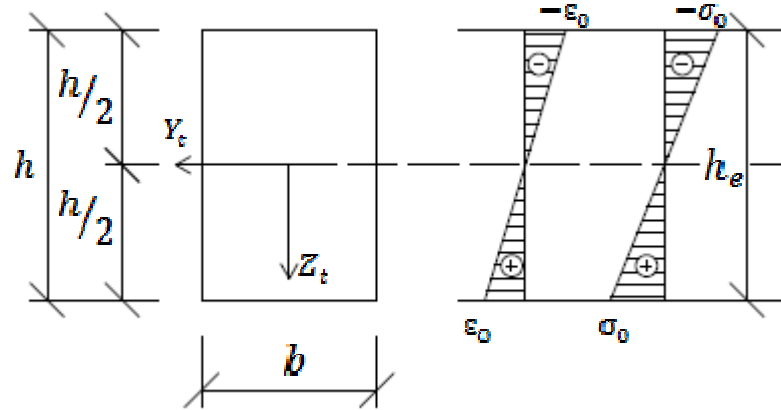
$$M = \int_A \sigma \cdot z \, dA$$

$$M = 2b \int_0^{\frac{h_e}{2}} \frac{2\sigma_0}{h_e} \cdot z^2 \, dz$$

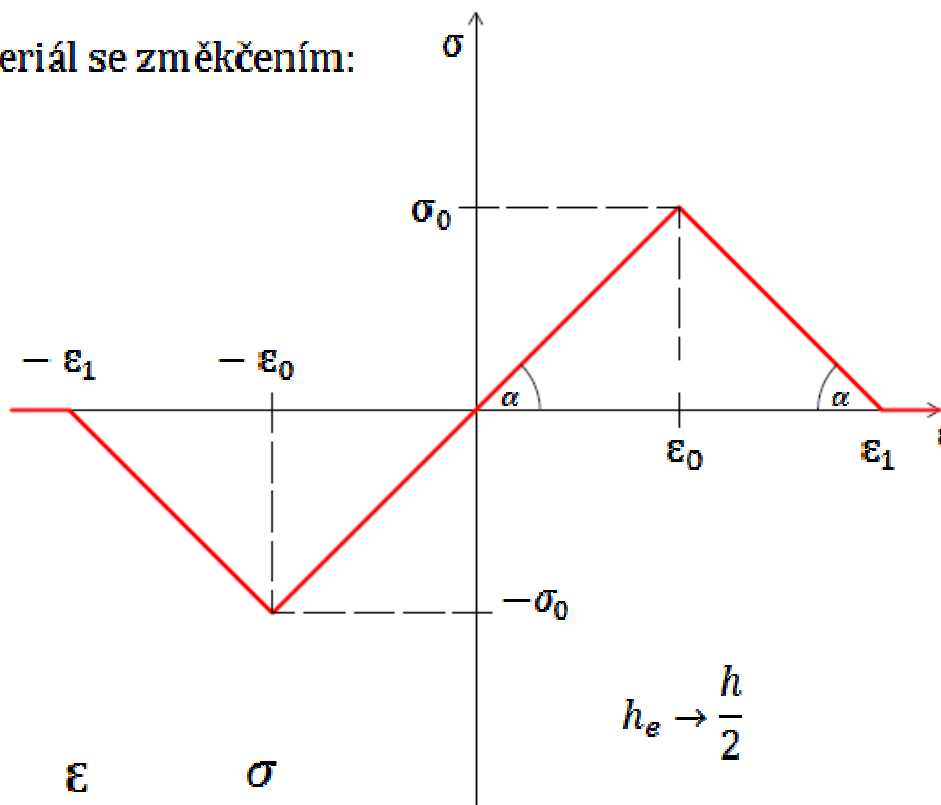
$$M = \frac{\sigma_0 b h_e^2}{6}$$

$$h_e \rightarrow h \quad (h_e \in h)$$

$$M = \frac{\sigma_0 b h^2}{6}$$

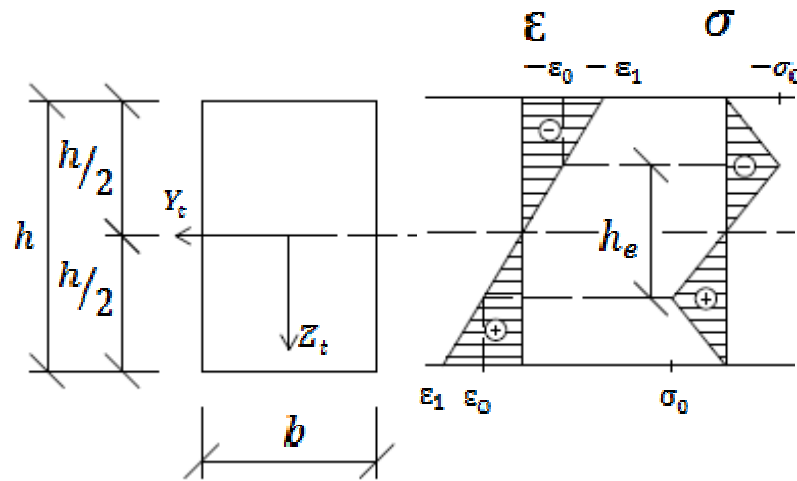


Výpočet momentu pro materiál se změkčením:

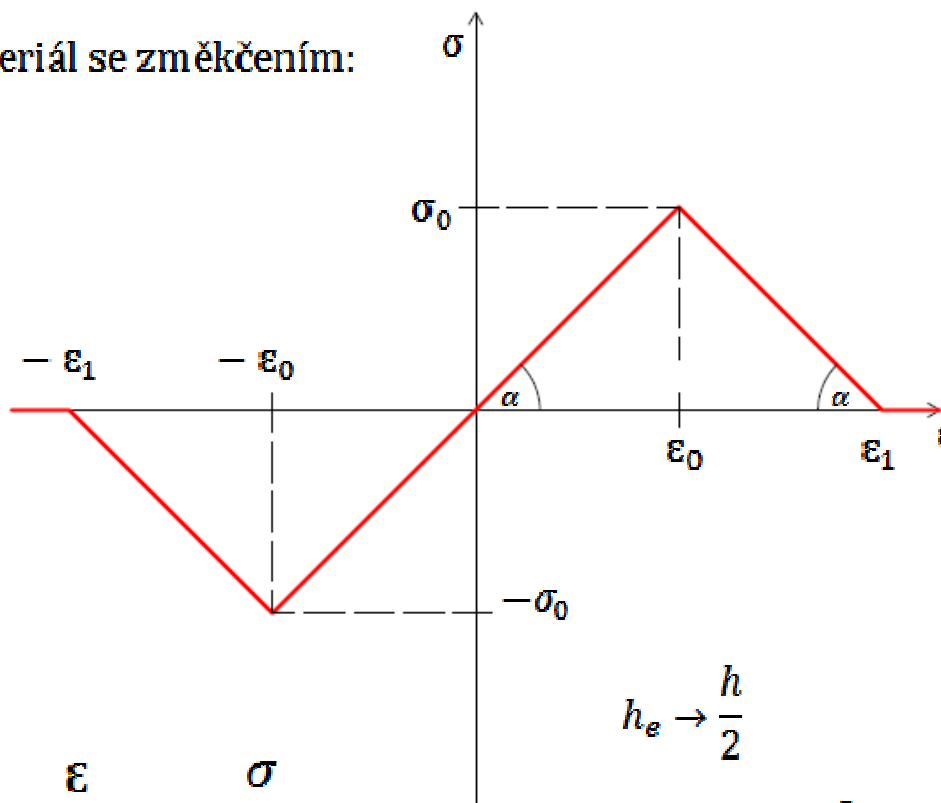


$$h_e \rightarrow \frac{h}{2}$$

$$\kappa = \frac{4\epsilon_0}{h}$$



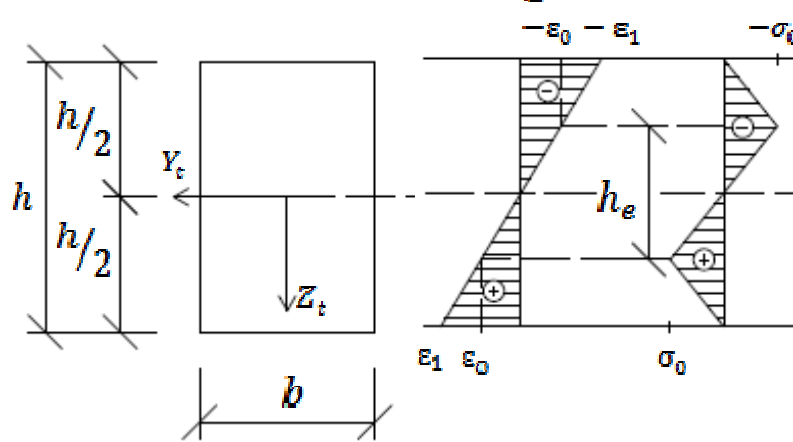
Výpočet momentu pro materiál se změkčením:



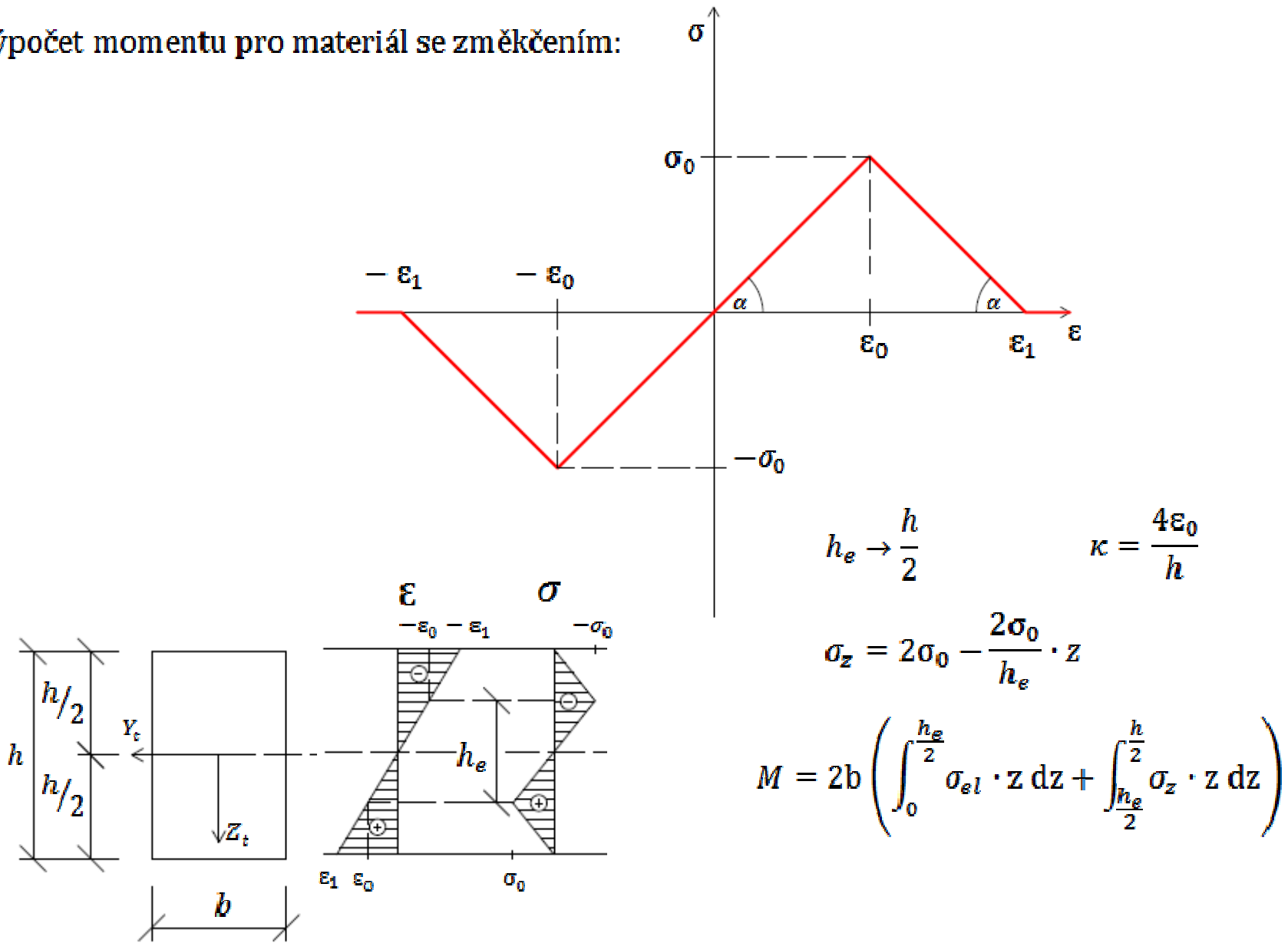
$$h_e \rightarrow \frac{h}{2}$$

$$\kappa = \frac{4\epsilon_0}{h}$$

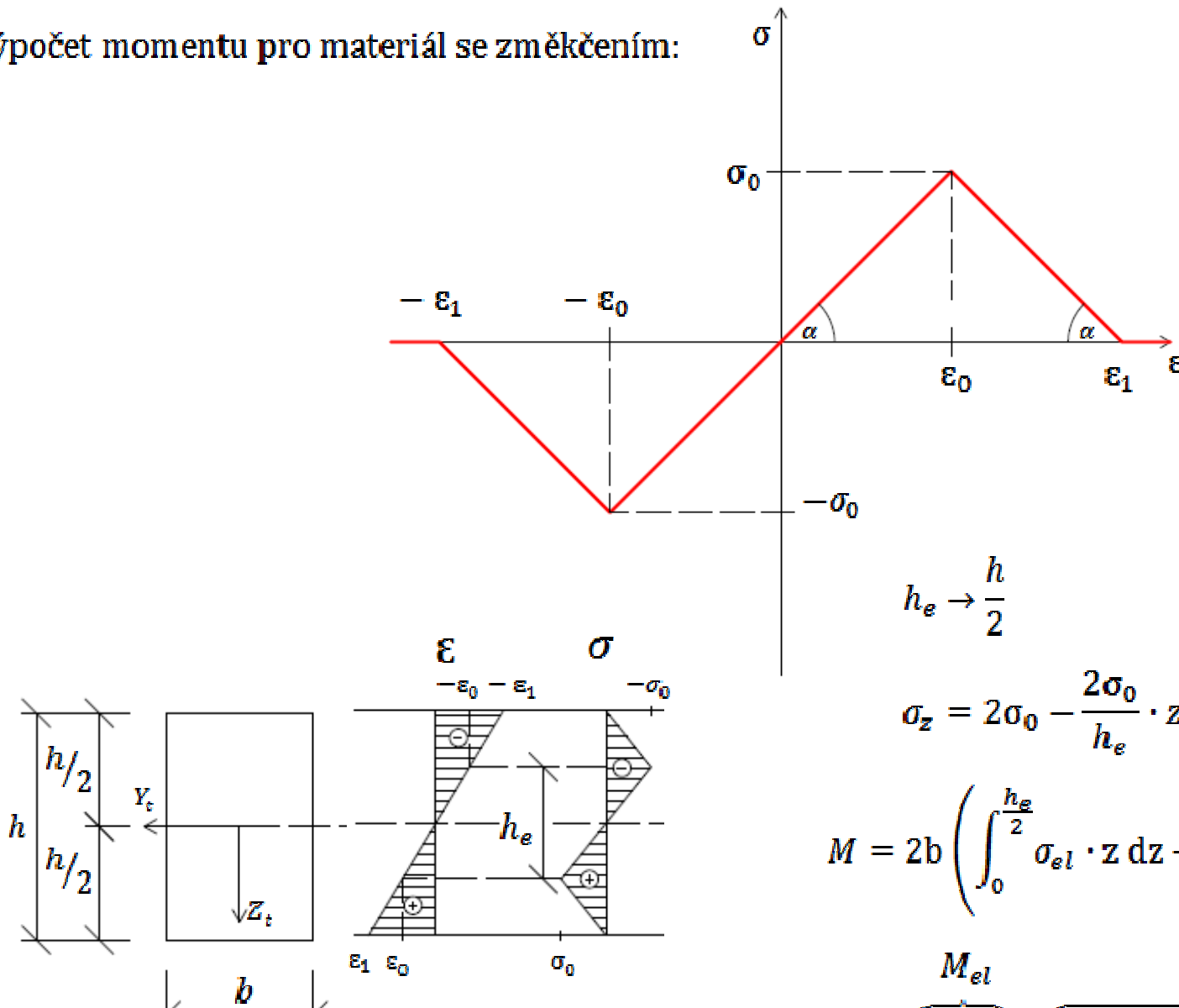
$$\sigma_z = 2\sigma_0 - \frac{2\sigma_0}{h_e} \cdot z$$



Výpočet momentu pro materiál se změkčením:



Výpočet momentu pro materiál se změkčením:



$$h_e \rightarrow \frac{h}{2} \quad \kappa = \frac{4\varepsilon_0}{h}$$

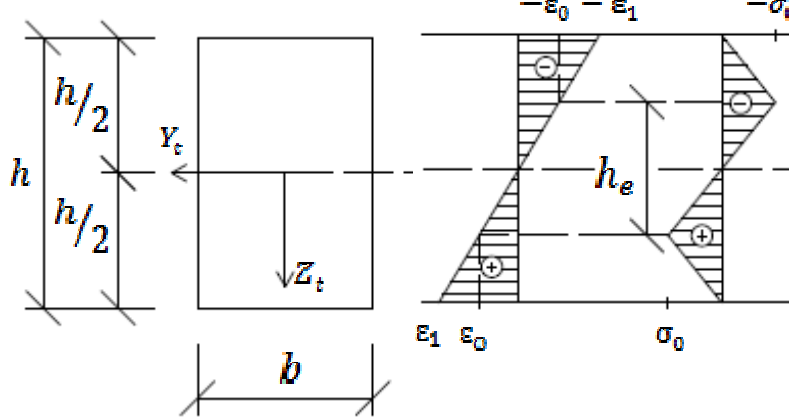
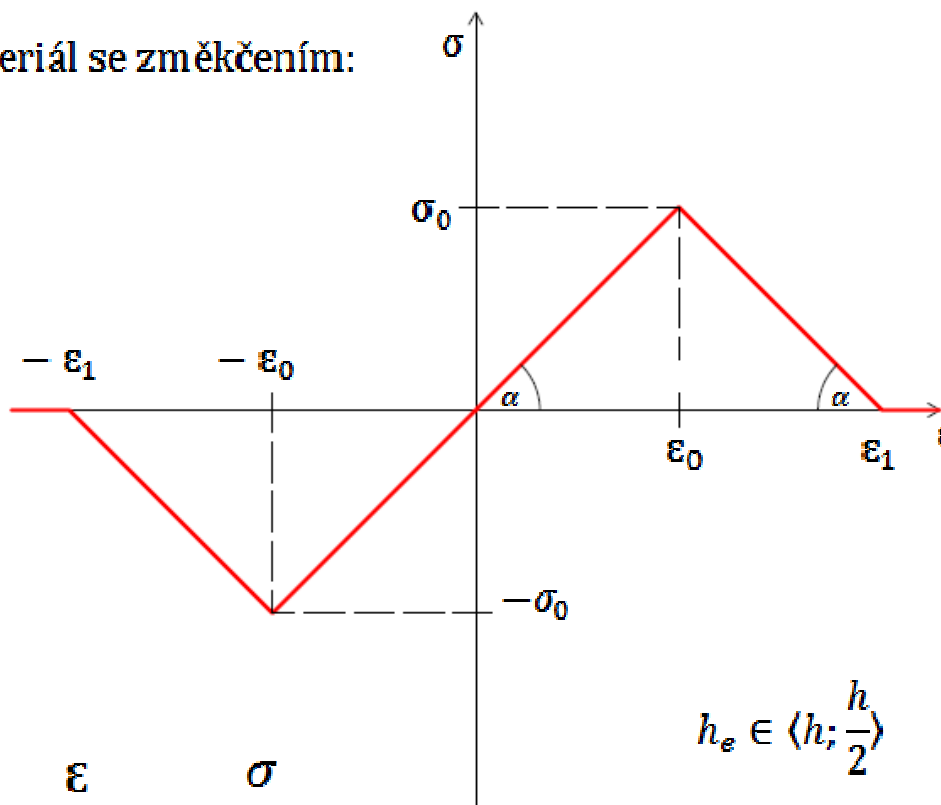
$$\sigma_z = 2\sigma_0 - \frac{2\sigma_0}{h_e} \cdot z$$

$$M = 2b \left(\int_0^{\frac{h_e}{2}} \sigma_{el} \cdot z \, dz + \int_{\frac{h_e}{2}}^{\frac{h}{2}} \sigma_z \cdot z \, dz \right)$$

$$M = \frac{M_{el}}{6} - \frac{M_z}{6h_e}$$

$$\frac{\sigma_0 b h_e^2}{6} - \frac{\sigma_0 b (2h_e^3 - 3h_e h^2 + h^3)}{6h_e}$$

Výpočet momentu pro materiál se změkčením:

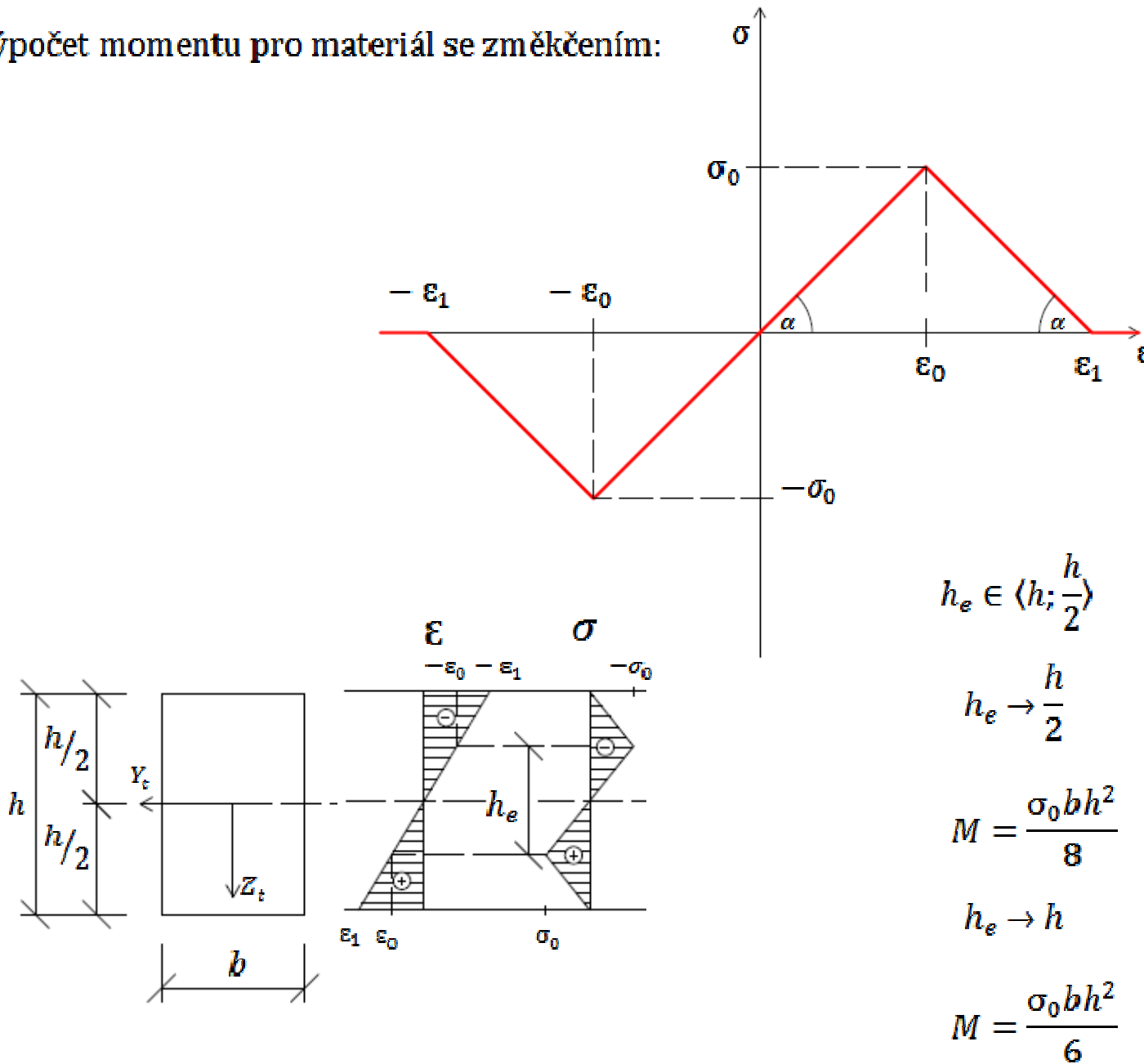


$$h_e \in \left(h; \frac{h}{2}\right)$$

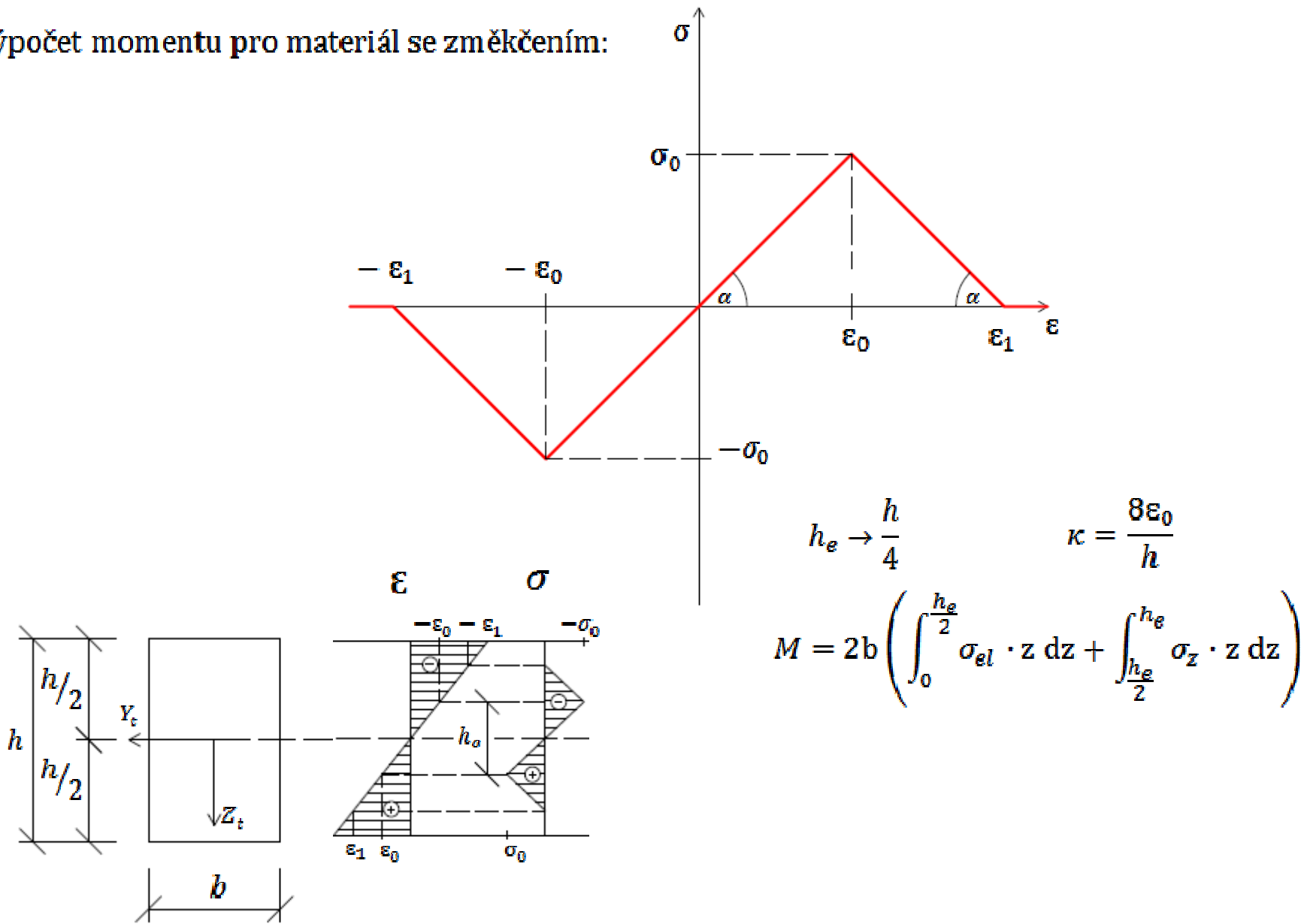
$$h_e \rightarrow \frac{h}{2}$$

$$M = \frac{\sigma_0 b h^2}{8}$$

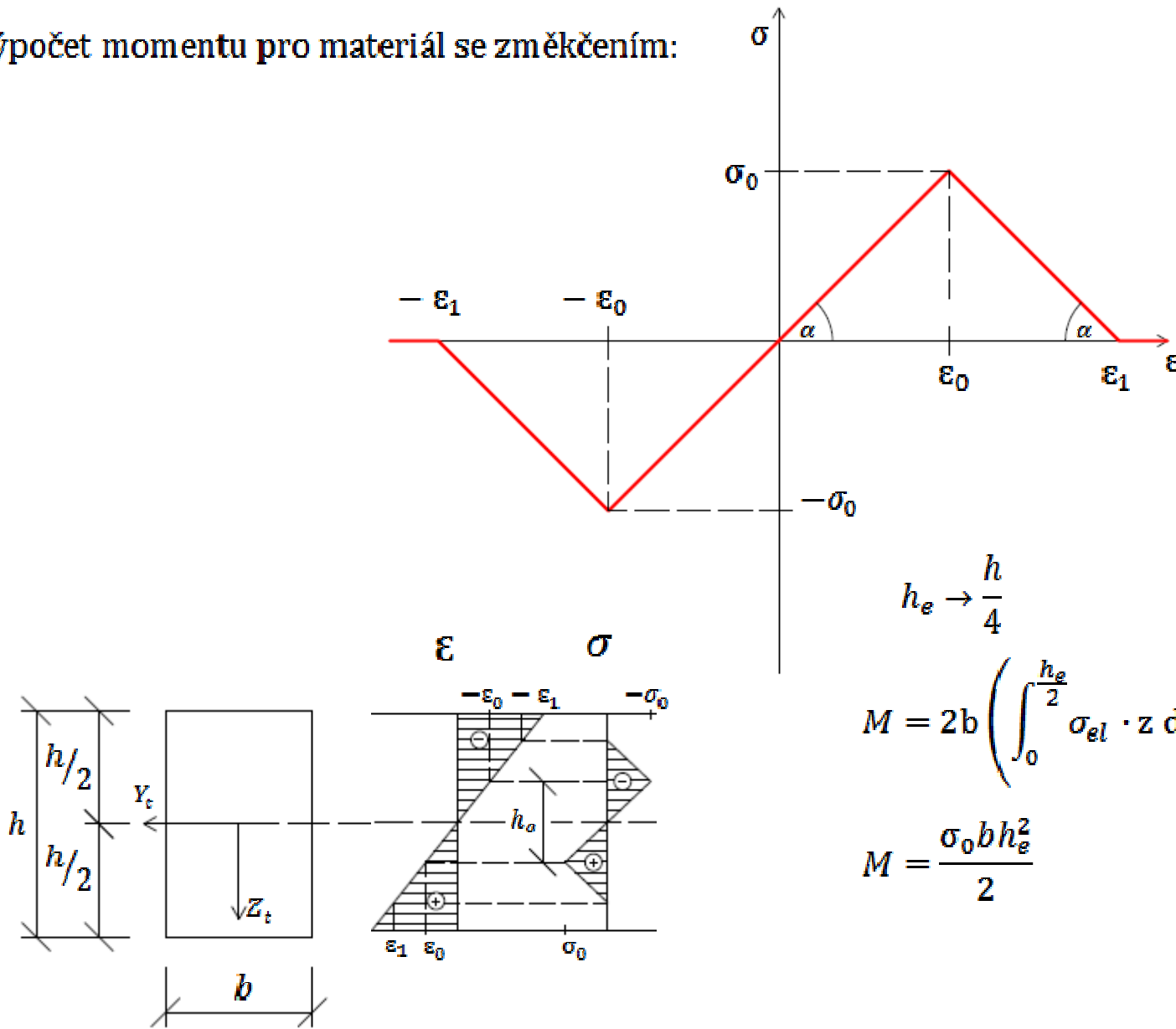
Výpočet momentu pro materiál se změkčením:



Výpočet momentu pro materiál se změkčením:



Výpočet momentu pro materiál se změkčením:



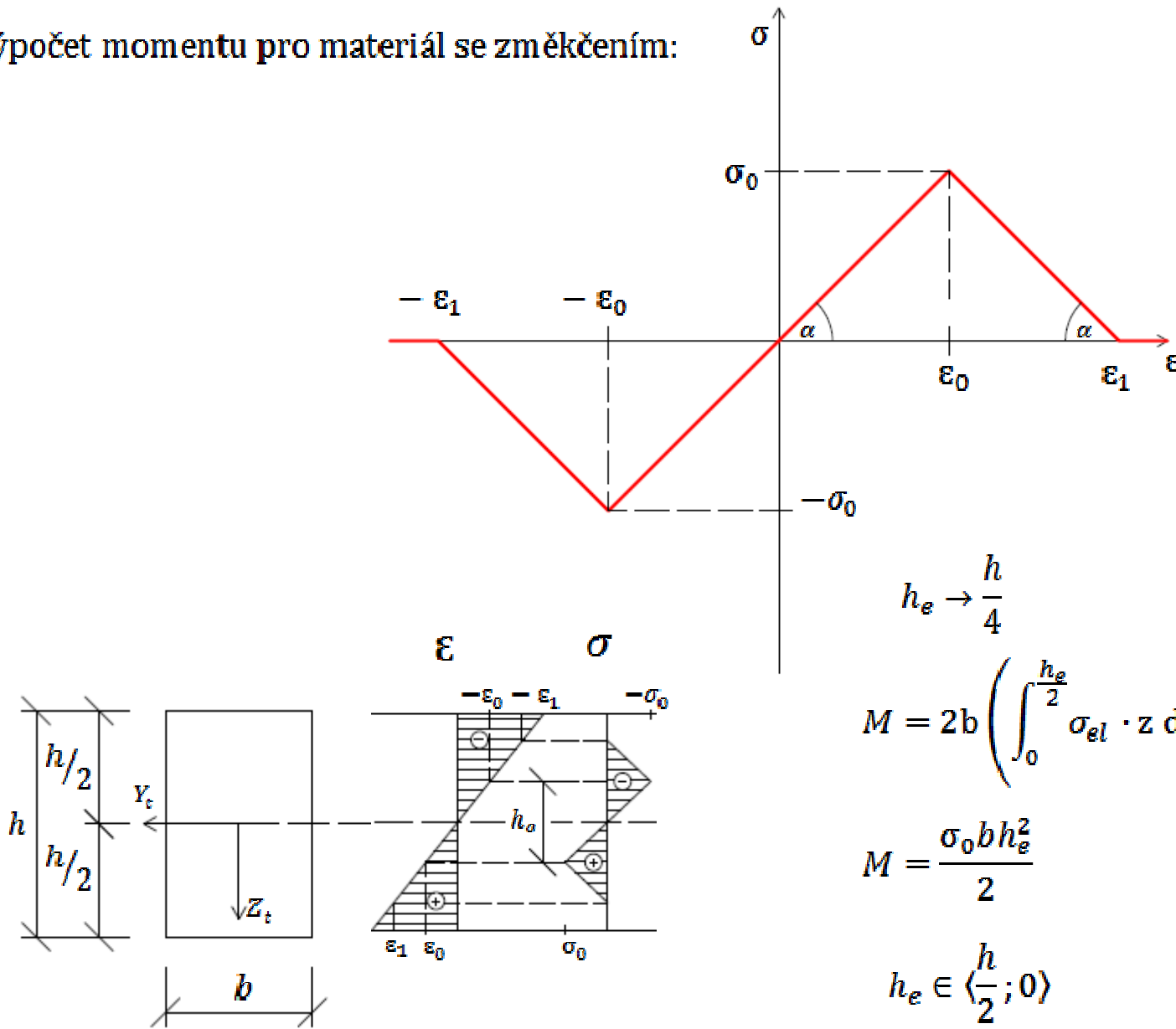
$$h_e \rightarrow \frac{h}{4}$$

$$\kappa = \frac{8\epsilon_0}{h}$$

$$M = 2b \left(\int_0^{\frac{h_e}{2}} \sigma_{el} \cdot z \, dz + \int_{\frac{h_e}{2}}^{h_e} \sigma_z \cdot z \, dz \right)$$

$$M = \frac{\sigma_0 b h_e^2}{2}$$

Výpočet momentu pro materiál se změkčením:



$$h_e \rightarrow \frac{h}{4}$$

$$\kappa = \frac{8\epsilon_0}{h}$$

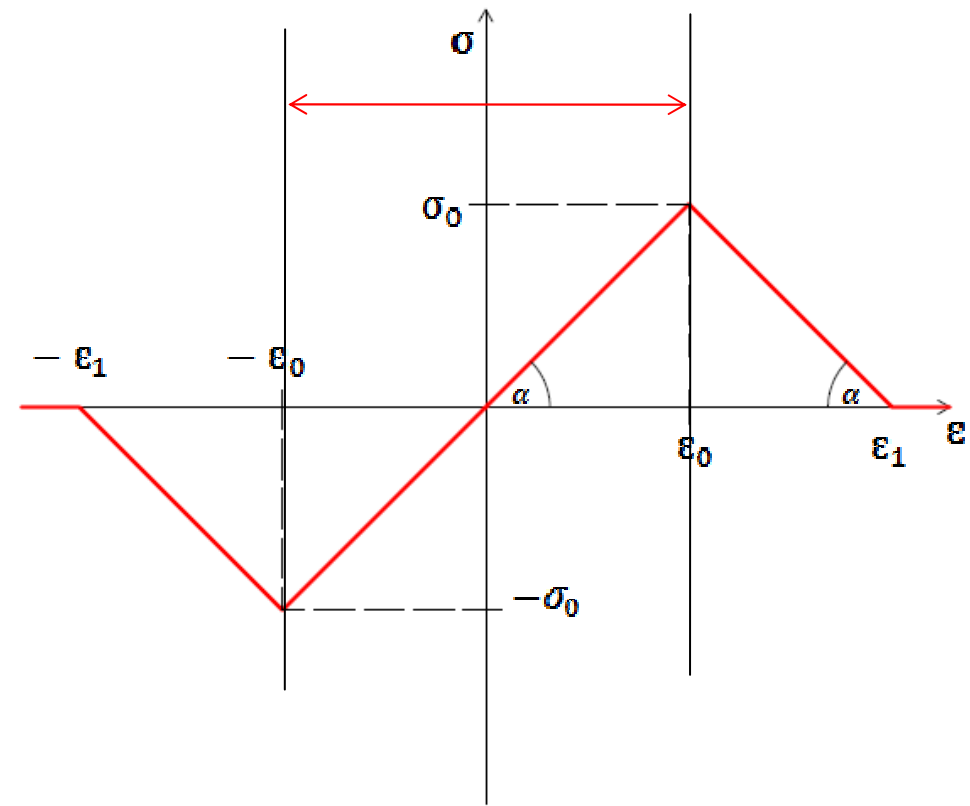
$$M = 2b \left(\int_0^{\frac{h_e}{2}} \sigma_{el} \cdot z \, dz + \int_{\frac{h_e}{2}}^{h_e} \sigma_z \cdot z \, dz \right)$$

$$M = \frac{\sigma_0 b h_e^2}{2}$$

$$h_e \in \left\langle \frac{h}{2}; 0 \right\rangle$$

Vyjádření momentu na křivosti κ

$$M = EI\kappa \quad \kappa \in (0; \frac{2\varepsilon_0}{h})$$

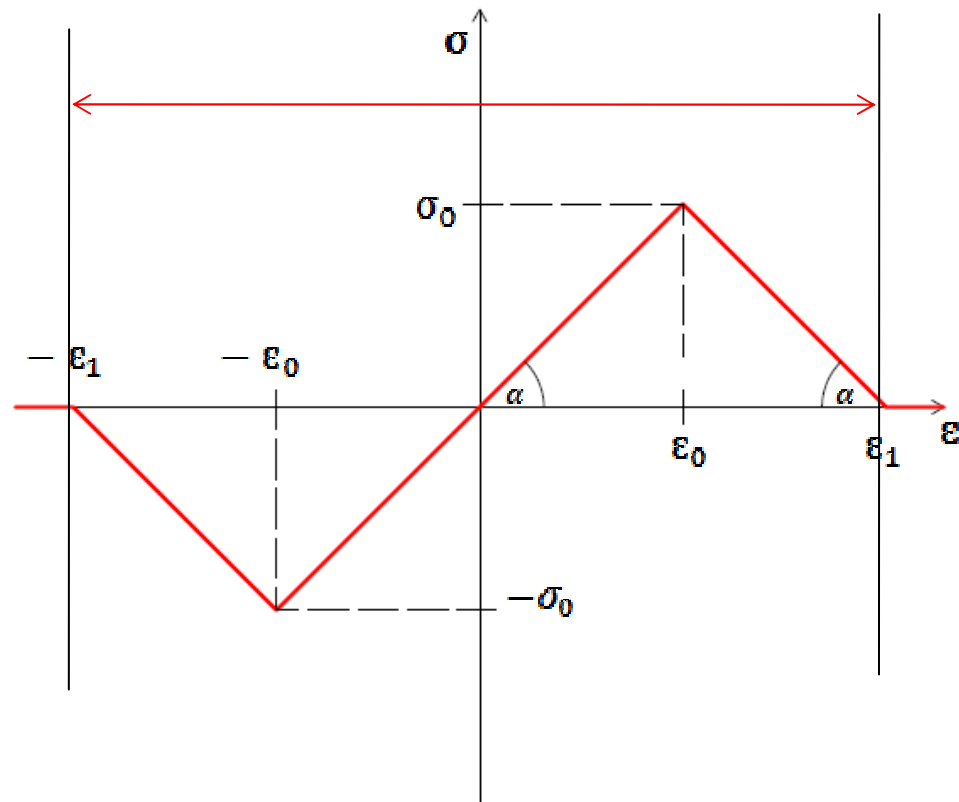


Vyjádření momentu na křivosti κ

$$M = EI\kappa \quad \kappa \in \left(0; \frac{2\varepsilon_0}{h}\right)$$

$$M = -\frac{\sigma_0 b(h^3 \kappa^3 - 6h^2 \varepsilon_0 \kappa^2 + 8\varepsilon_0^3)}{12\varepsilon_0 \kappa^2}$$

$$\kappa \in \left(\frac{2\varepsilon_0}{h}; \frac{4\varepsilon_0}{h}\right)$$



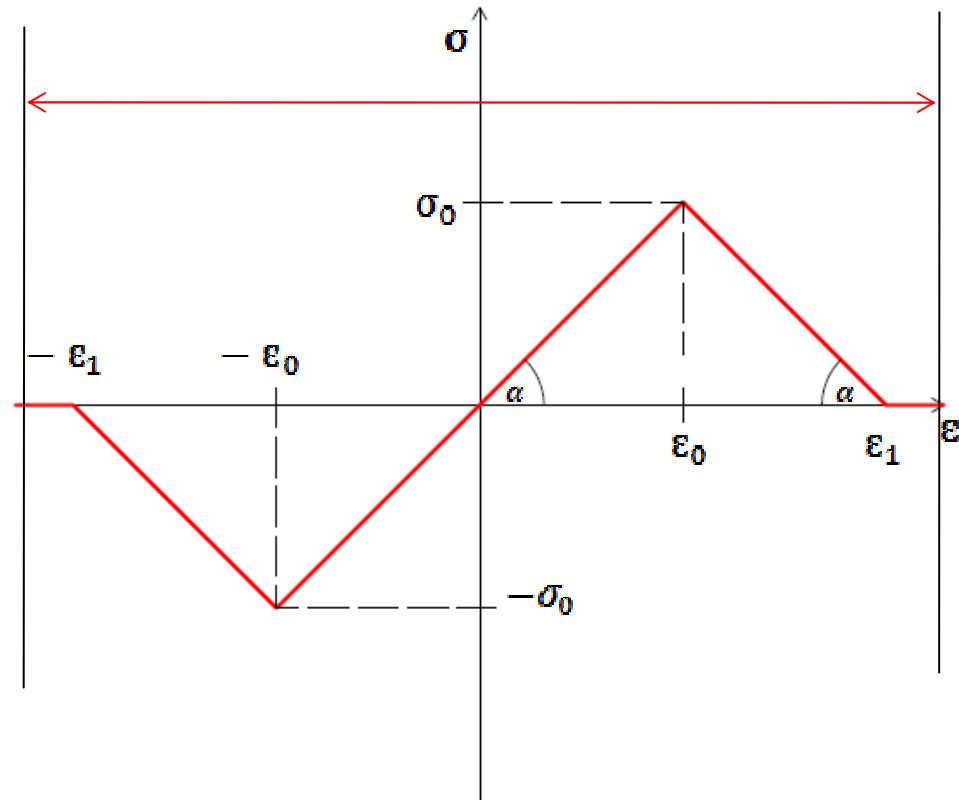
Vyjádření momentu na křivosti κ

$$M = EI\kappa \quad \kappa \in \left(0; \frac{2\varepsilon_0}{h}\right)$$

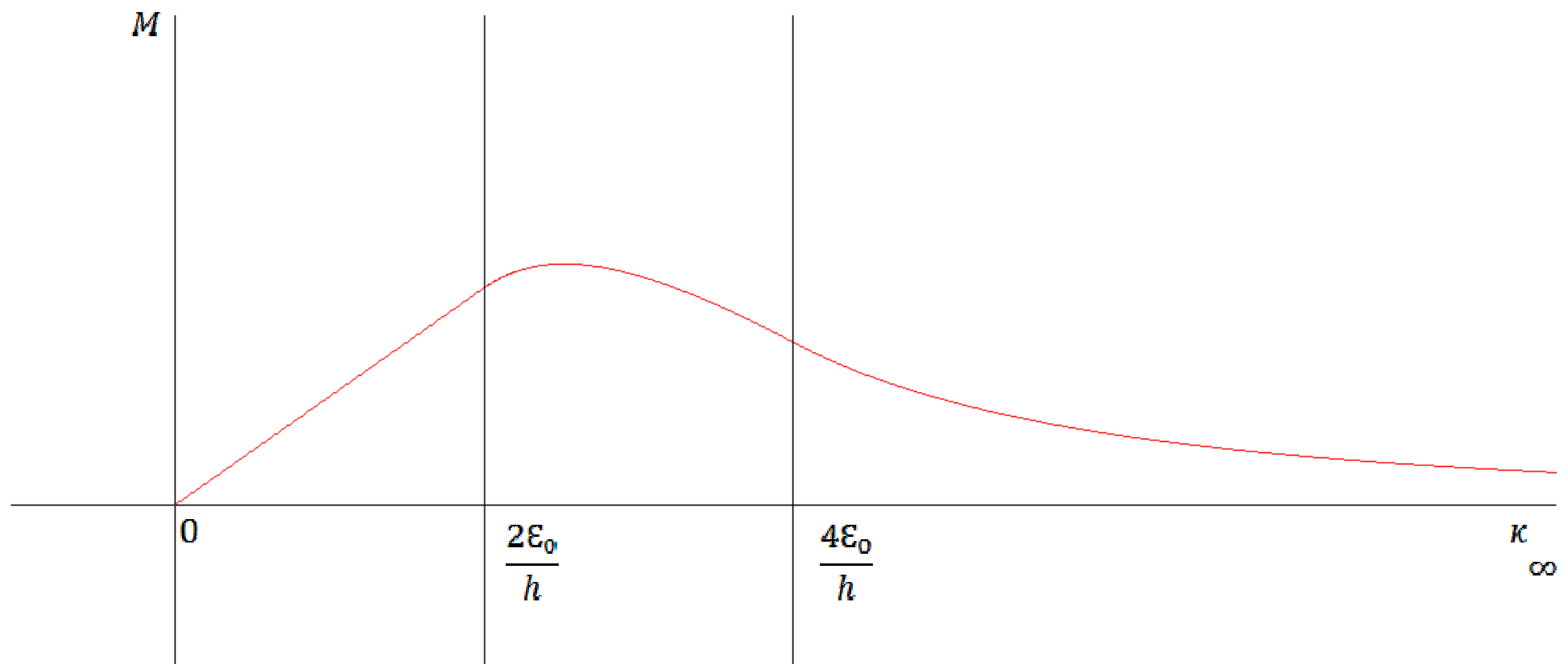
$$M = -\frac{\sigma_0 b(h^3 \kappa^3 - 6h^2 \varepsilon_0 \kappa^2 + 8\varepsilon_0^3)}{12\varepsilon_0 \kappa^2}$$

$$\kappa \in \left(\frac{2\varepsilon_0}{h}; \frac{4\varepsilon_0}{h}\right)$$

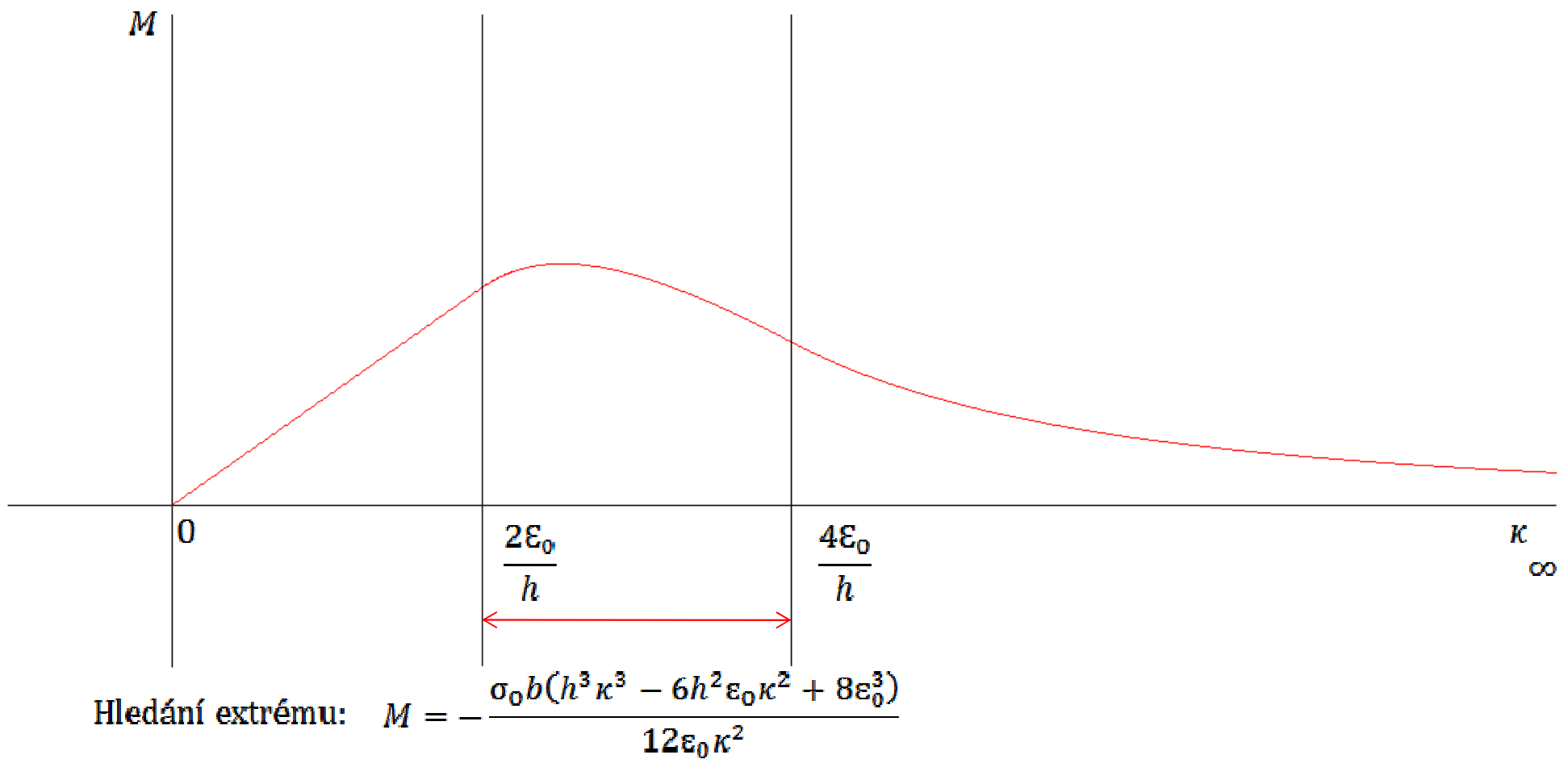
$$M = \frac{2\sigma_0 b \varepsilon_0^2}{\kappa^2} \quad \kappa \in \left(\frac{4\varepsilon_0}{h}; \infty\right)$$



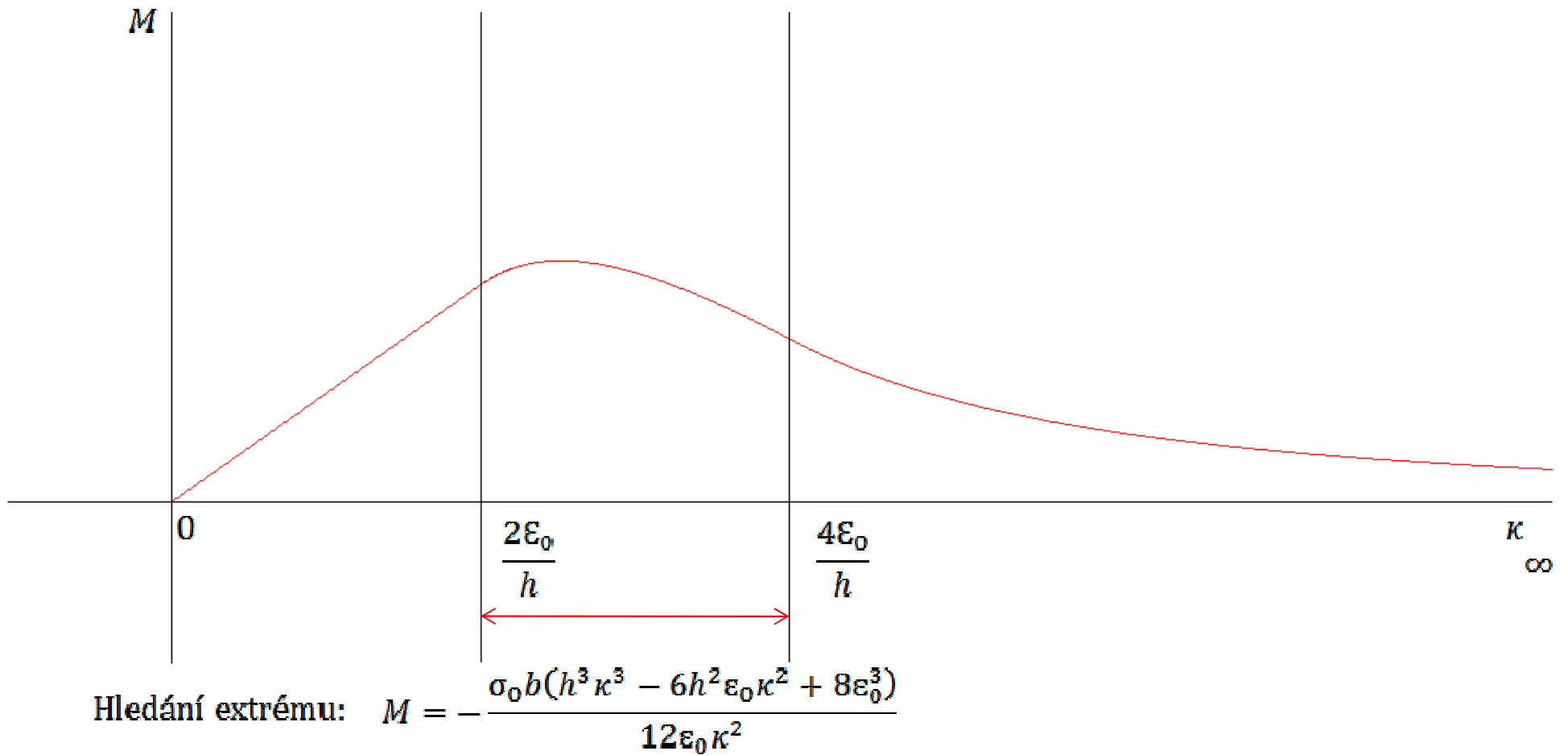
Graf $M(\kappa)$:



Graf $M(\kappa)$:

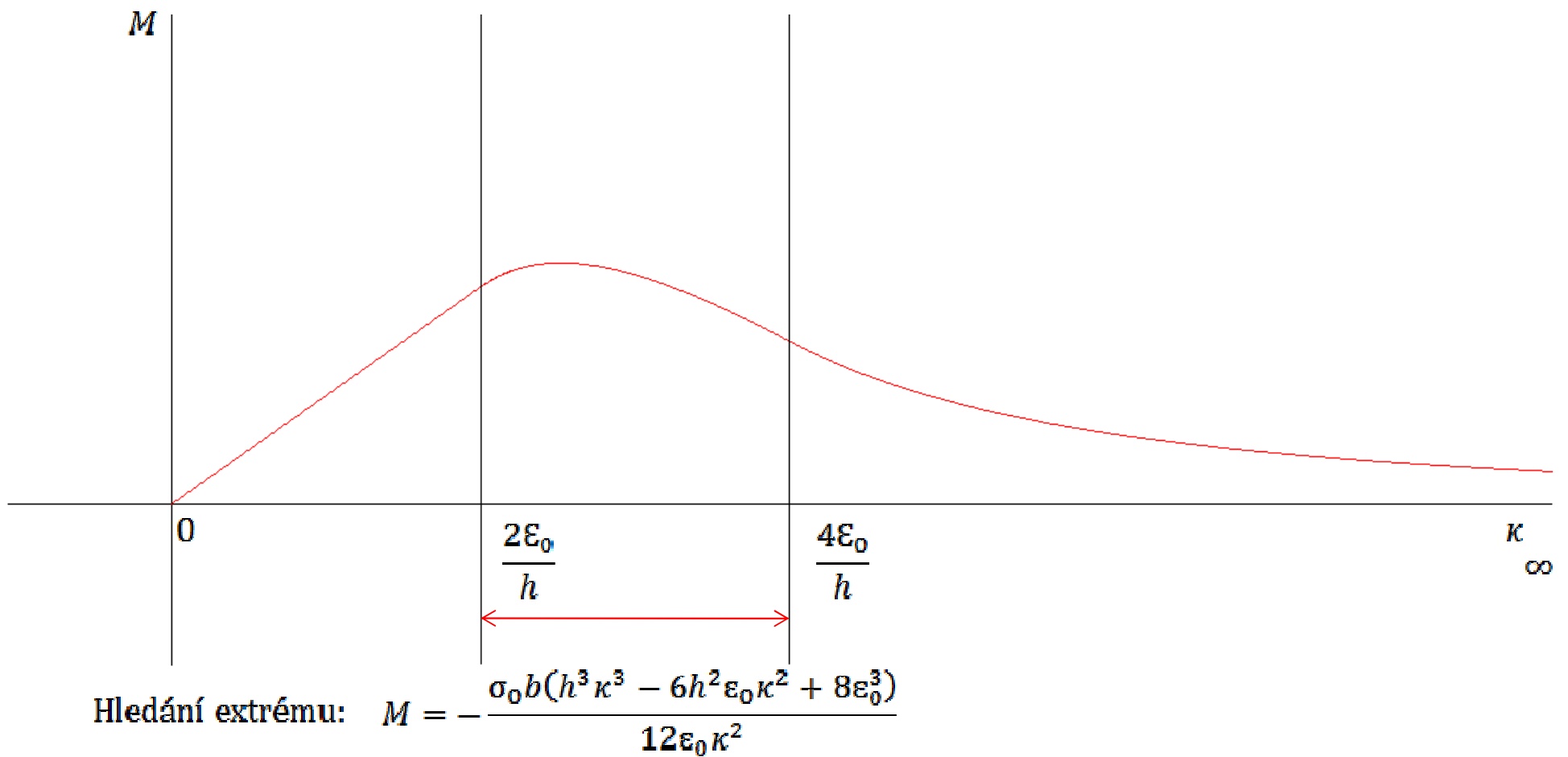


Graf $M(\kappa)$:



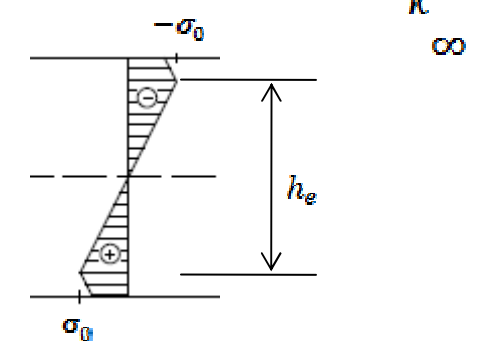
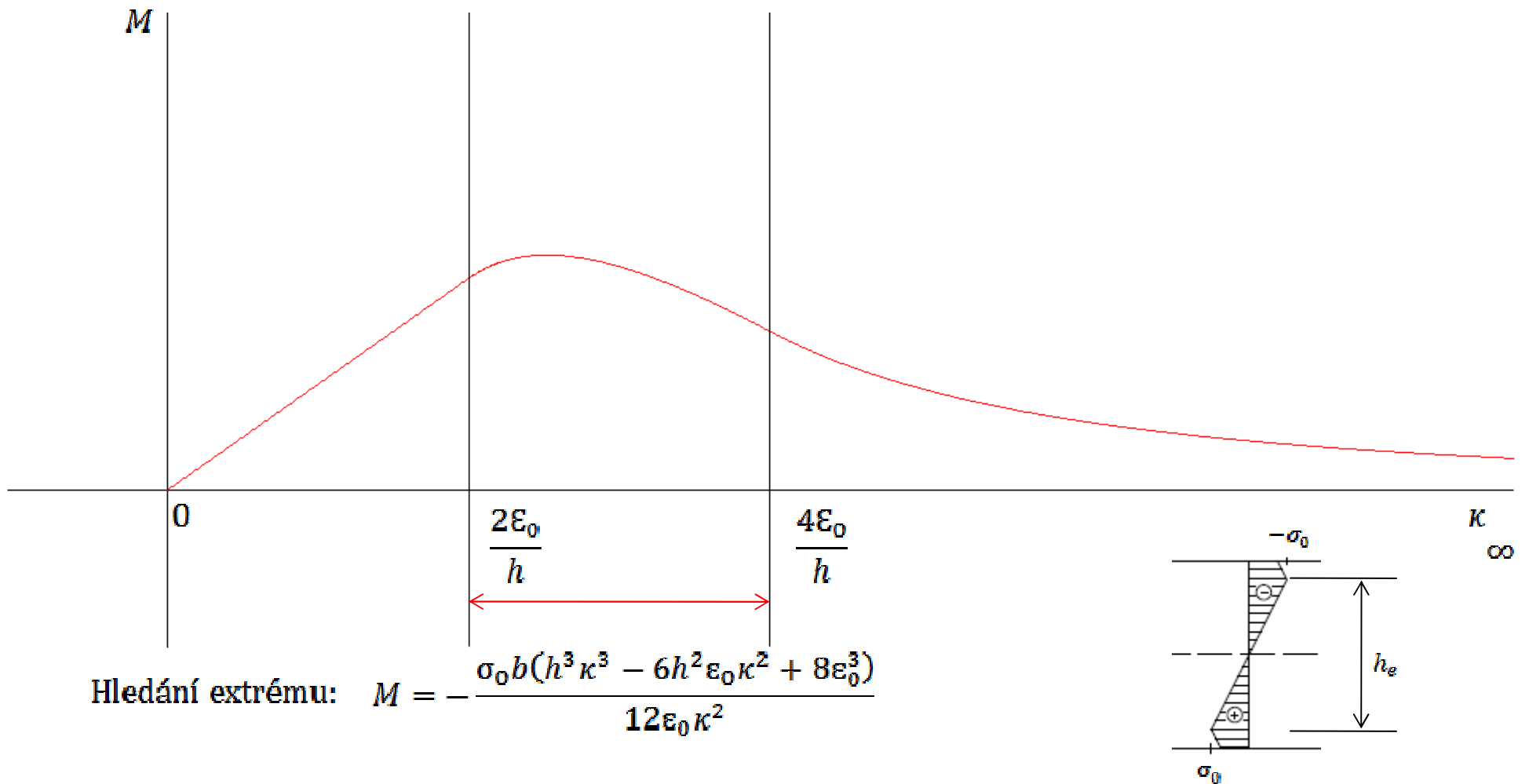
$$\frac{dM}{d\kappa} \left(-\frac{\sigma_0 b(h^3 \kappa^3 - 6h^2 \epsilon_0 \kappa^2 + 8\epsilon_0^3)}{12\epsilon_0 \kappa^2} \right) = 0 \quad \dots \quad \kappa = \frac{2\sqrt[3]{2}\epsilon_0}{h}$$

Graf $M(\kappa)$:



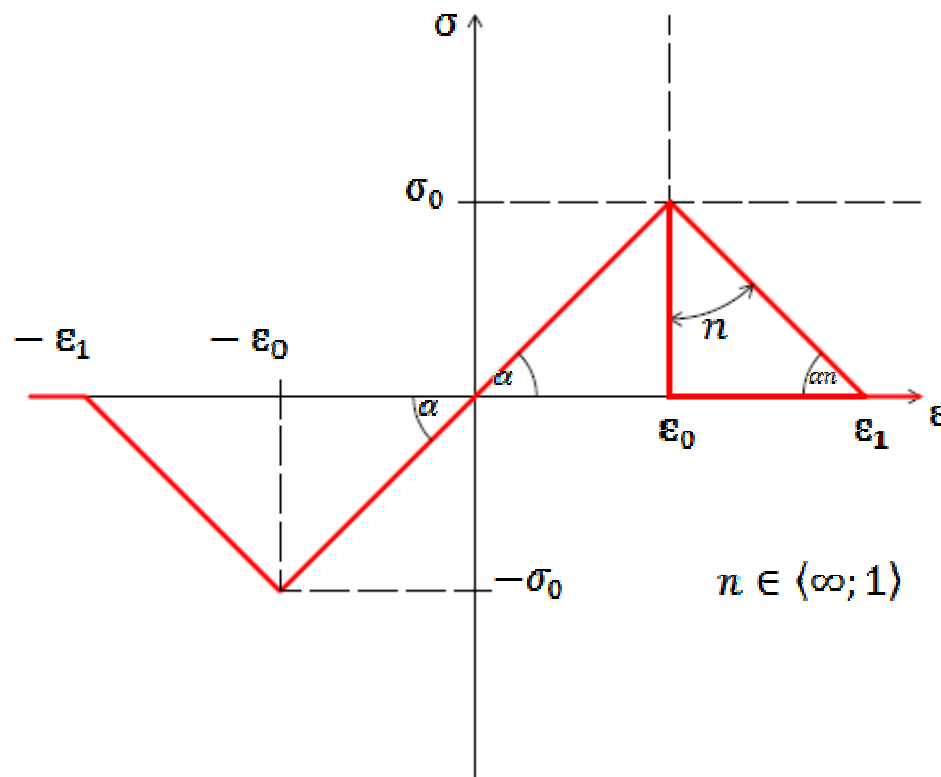
$$\frac{dM}{d\kappa} \left(-\frac{\sigma_0 b (h^3 \kappa^3 - 6h^2 \varepsilon_0 \kappa^2 + 8\varepsilon_0^3)}{12\varepsilon_0 \kappa^2} \right) = 0 \quad \dots \quad \kappa = \frac{2\sqrt[3]{2}\varepsilon_0}{h} \quad \dots \quad h_e = \frac{h}{\sqrt[3]{2}}$$

Graf $M(\kappa)$:



$$\frac{dM}{d\kappa} \left(-\frac{\sigma_0 b (h^3 \kappa^3 - 6h^2 \epsilon_0 \kappa^2 + 8\epsilon_0^3)}{12\epsilon_0 \kappa^2} \right) = 0 \quad \dots \quad \kappa = \frac{2\sqrt[3]{2}\epsilon_0}{h} \quad \dots \quad h_e = \frac{h}{\sqrt[3]{2}} \cong 0.8h$$

Obecný případ pro materiál se změkčením (zpevněním):

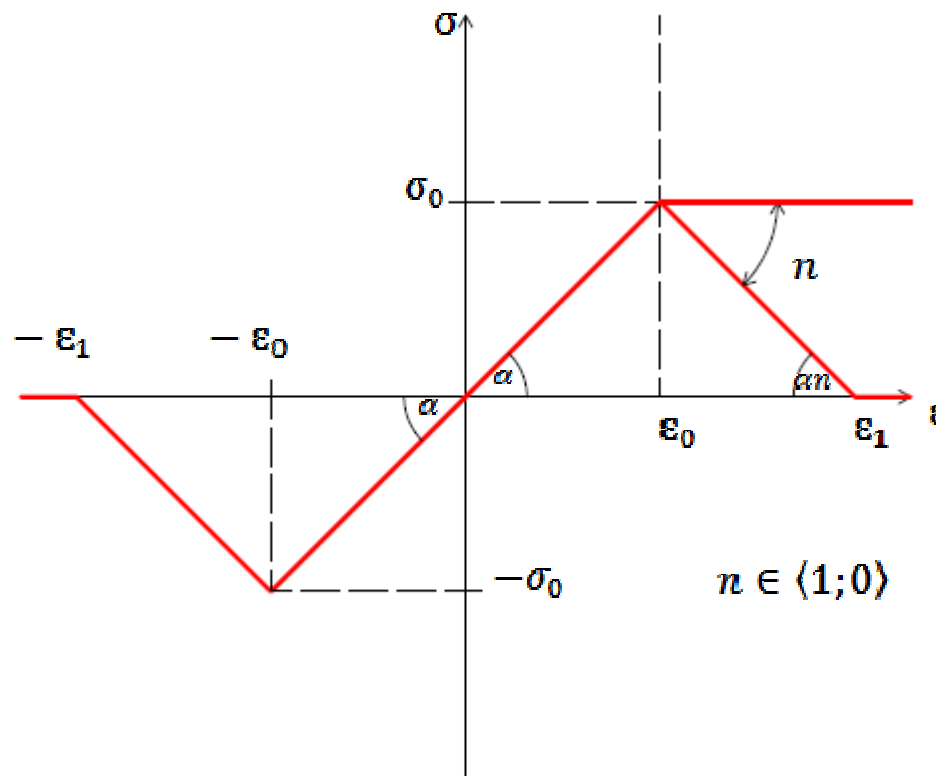


Napětí v průřezu:

$$\sigma_{el} = \frac{2\sigma_0}{h_e} \cdot z$$

$$\sigma_z = \sigma_0(n+1) - \frac{2\sigma_0 n}{h_e} \cdot z$$

Obecný případ pro materiál se změkčením (zpevněním):

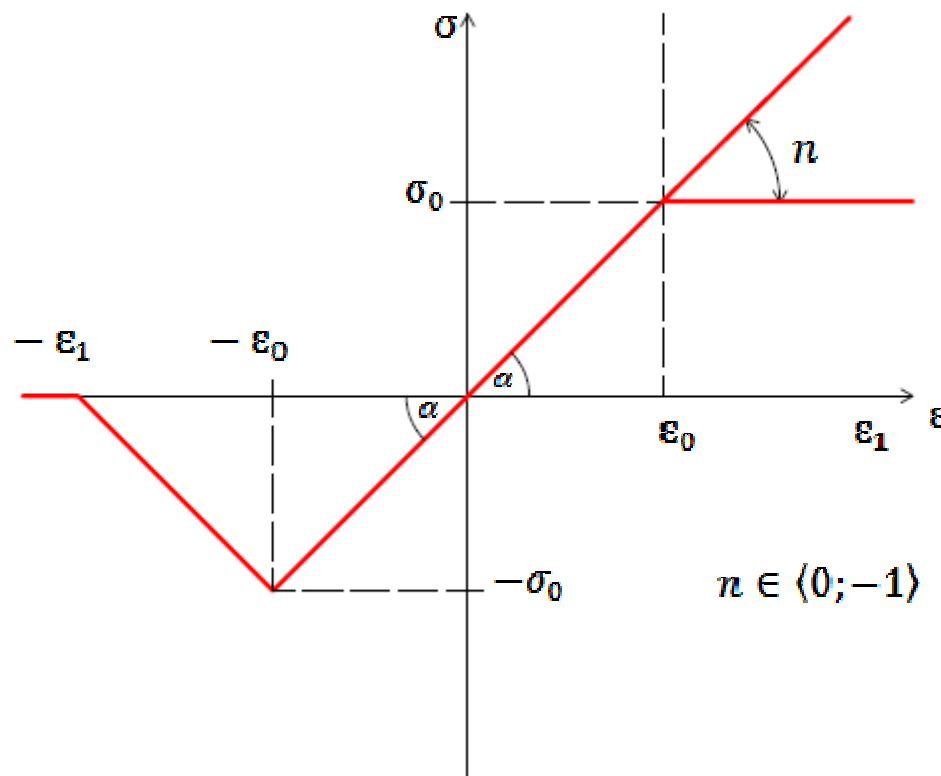


Napětí v průřezu:

$$\sigma_{el} = \frac{2\sigma_0}{h_e} \cdot z$$

$$\sigma_z = \sigma_0(n+1) - \frac{2\sigma_0 n}{h_e} \cdot z$$

Obecný případ pro materiál se změkčením (zpevněním):



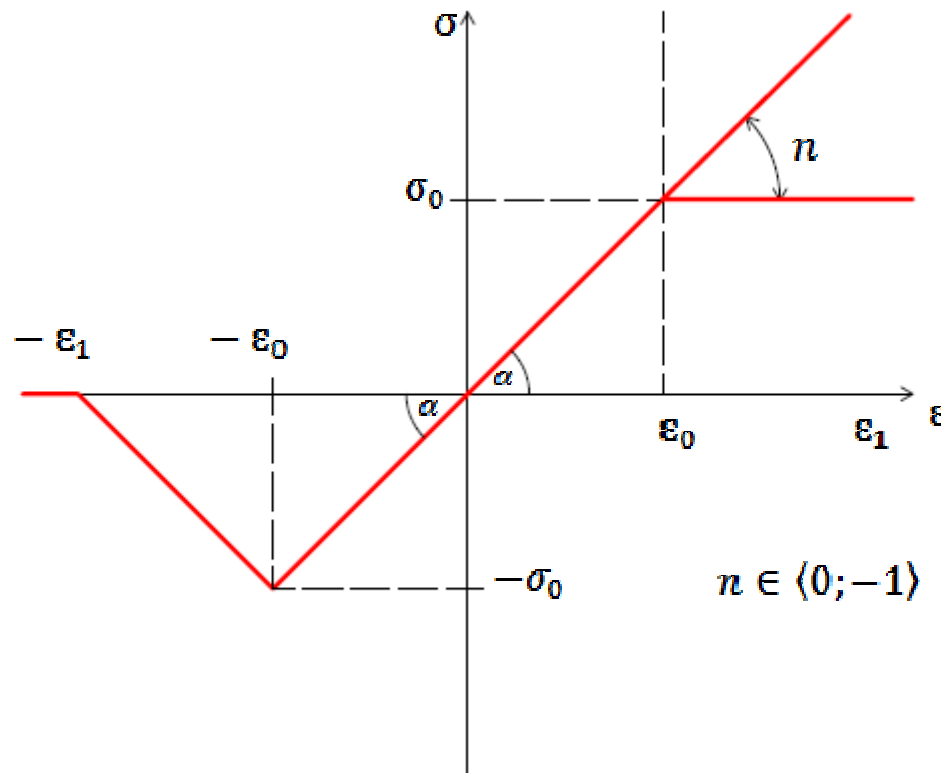
Napětí v průřezu:

$$\sigma_{el} = \frac{2\sigma_0}{h_e} \cdot z$$

$$\sigma_z = \sigma_0(n+1) - \frac{2\sigma_0 n}{h_e} \cdot z$$

$$n \in \langle 0; -1 \rangle$$

Obecný případ pro materiál se změkčením (zpevněním):



Napětí v průřezu:

$$\sigma_{el} = \frac{2\sigma_0}{h_e} \cdot z$$

$$\sigma_z = \sigma_0(n+1) - \frac{2\sigma_0 n}{h_e} \cdot z$$

$$M = 2b \left(\int_0^{\frac{h_e}{2}} \sigma_{el} \cdot z \, dz + \int_{\frac{h_e}{2}}^{\frac{h}{2}} \sigma_z \cdot z \, dz \right) = -\frac{\sigma_0 b (h_e^3(n+1) - 3h_e h^2(n+1) + h^3 n)}{12h_e}$$

Rozměrový efekt:

Hledání extrému:

Vyjádření momentu na křivosti κ

$$M = -\frac{\sigma_0 b (h_e^3(n+1) - 3h_e h^2(n+1) + h^3 n)}{12h_e} \quad \dots \quad h_e = \frac{2\epsilon_0}{\kappa}$$

Rozměrový efekt:

Hledání extrému:

Vyjádření momentu na křivosti κ

$$M = -\frac{\sigma_0 b (h_e^3(n+1) - 3h_e h^2(n+1) + h^3 n)}{12h_e} \quad \dots \quad h_e = \frac{2\epsilon_0}{\kappa}$$

$$\frac{dM}{d\kappa}(M(\kappa)) = 0$$

Rozměrový efekt:

Hledání extrému:

Vyjádření momentu na křivosti κ

$$M = -\frac{\sigma_0 b (h_e^3(n+1) - 3h_e h^2(n+1) + h^3 n)}{12h_e} \quad \dots \quad h_e = \frac{2\epsilon_0}{\kappa}$$

$$\frac{dM}{d\kappa}(M(\kappa)) = 0 \quad \dots \quad \kappa = \frac{2\sqrt[3]{n+1}\epsilon_0}{h\sqrt[3]{n}}$$

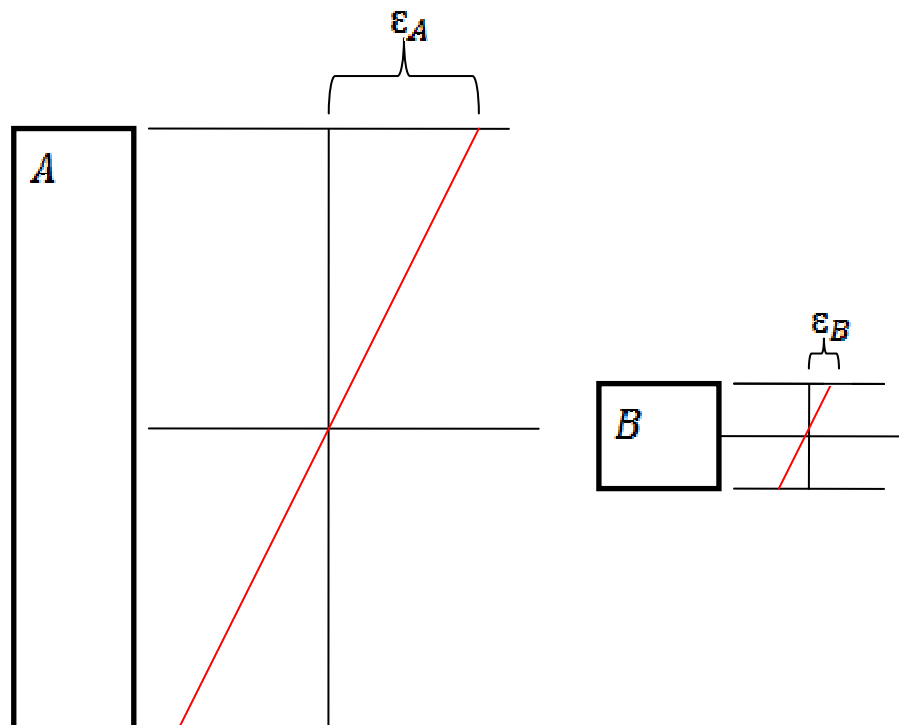
Rozměrový efekt:

Hledání extrému:

Vyjádření momentu na křivosti κ

$$M = -\frac{\sigma_0 b (h_e^3(n+1) - 3h_e h^2(n+1) + h^3 n)}{12h_e} \quad \dots \quad h_e = \frac{2\epsilon_0}{\kappa}$$

$$\frac{dM}{d\kappa}(M(\kappa)) = 0 \quad \dots \quad \kappa = \frac{2\sqrt[3]{n+1}\epsilon_0}{h\sqrt{n}}$$



Rozměrový efekt:

Hledání extrému:

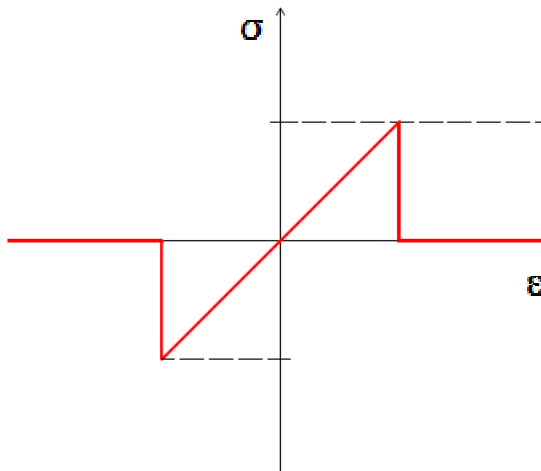
Vyjádření momentu na křivosti κ

$$M = -\frac{\sigma_0 b (h_e^3(n+1) - 3h_e h^2(n+1) + h^3 n)}{12h_e} \quad \dots \quad h_e = \frac{2\epsilon_0}{\kappa}$$

$$\frac{dM}{d\kappa}(M(\kappa)) = 0 \quad \dots \quad \kappa = \frac{2\sqrt[3]{n+1}\epsilon_0}{h\sqrt[3]{n}}$$

Ověření správnosti v extrémních bodech:

$$\lim_{n \rightarrow \infty} \frac{2\sqrt[3]{n+1}\epsilon_0}{h\sqrt[3]{n}} = \frac{2\epsilon_0}{h}$$



Rozměrový efekt:

Hledání extrému:

Vyjádření momentu na křivosti κ

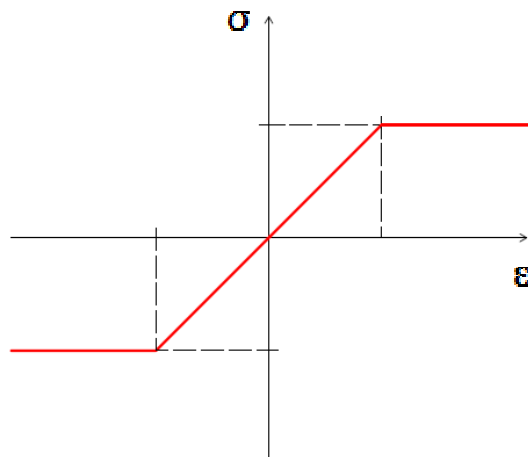
$$M = -\frac{\sigma_0 b(h_e^3(n+1) - 3h_e h^2(n+1) + h^3 n)}{12h_e} \quad \dots \quad h_e = \frac{2\epsilon_0}{\kappa}$$

$$\frac{dM}{d\kappa}(M(\kappa)) = 0 \quad \dots \quad \kappa = \frac{2\sqrt[3]{n+1}\epsilon_0}{h\sqrt[3]{n}}$$

Ověření správnosti v extrémních bodech:

$$\lim_{n \rightarrow \infty} \frac{2\sqrt[3]{n+1}\epsilon_0}{h\sqrt[3]{n}} = \frac{2\epsilon_0}{h}$$

$$\lim_{n \rightarrow 0} \frac{2\sqrt[3]{n+1}\epsilon_0}{h\sqrt[3]{n}} = \infty$$



Aplikace na železobetonový průřez:

Základní předpoklady:

- Pracovní diagram

Aplikace na železobetonový průřez:

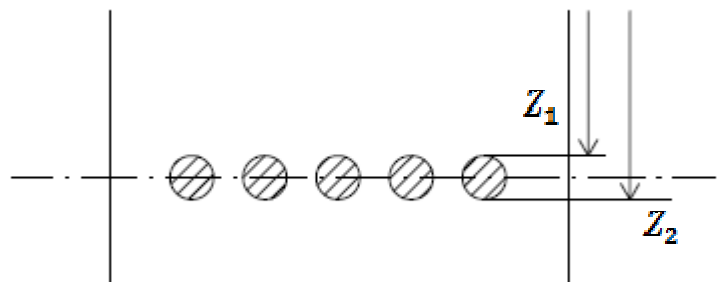
Základní předpoklady:

- Pracovní diagram
- Zanedbání pevnosti betonu v tahu

Aplikace na železobetonový průřez:

Základní předpoklady:

- Pracovní diagram
- Zanedbání pevnosti betonu v tahu
- Plocha výztuže

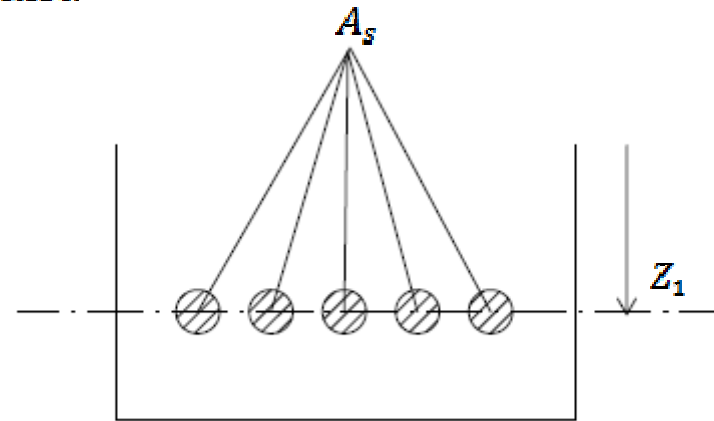
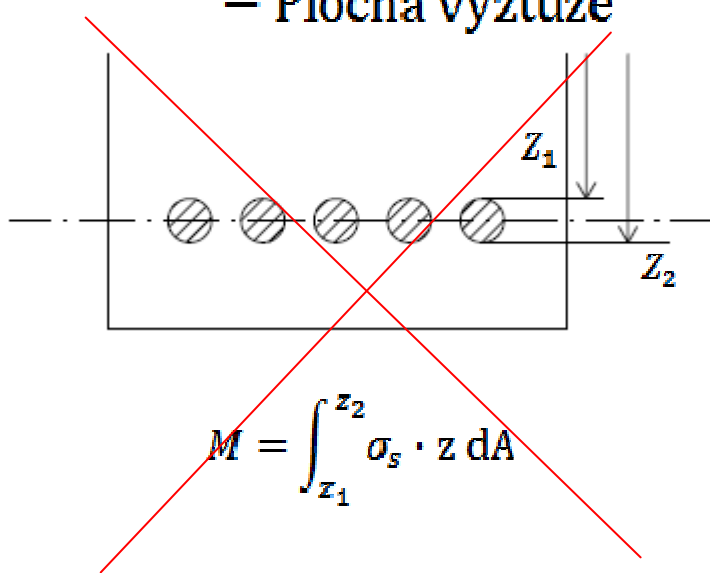


$$M = \int_{z_1}^{z_2} \sigma_s \cdot z \, dA$$

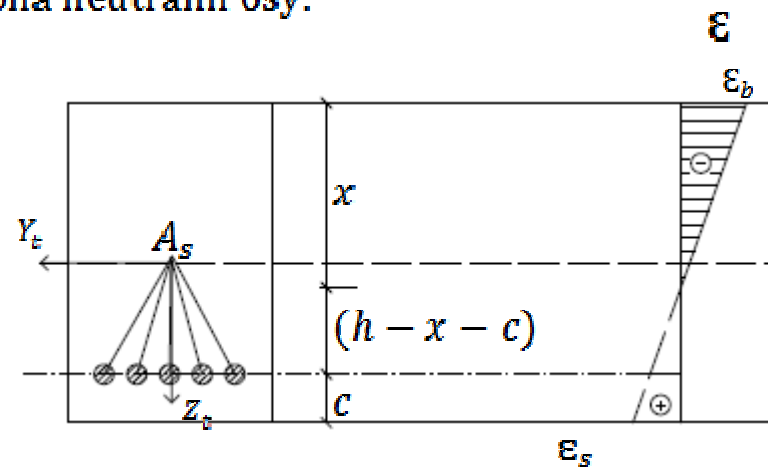
Aplikace na železobetonový průřez:

Základní předpoklady:

- Pracovní diagram
- Zanedbání pevnosti betonu v tahu
- Plocha výztuže



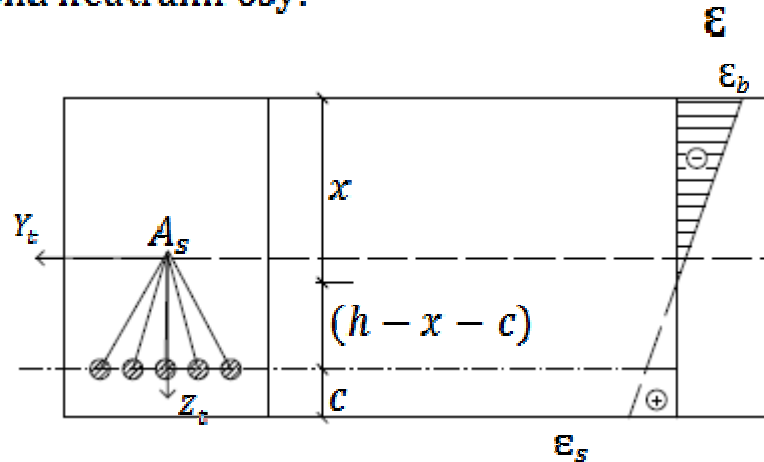
Poloha neutrální osy:



$$\varepsilon = K \cdot z$$

$$\varepsilon_b = K \cdot x \quad \dots \quad K = \frac{\varepsilon_b}{x}$$

Poloha neutrální osy:



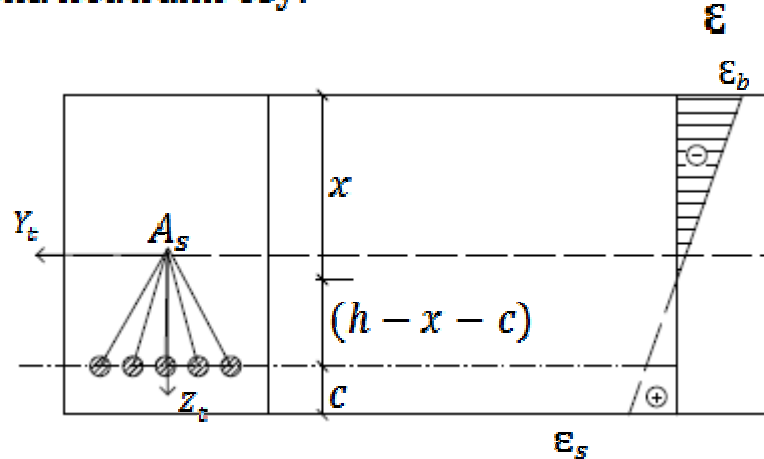
$$\varepsilon = K \cdot z$$

$$\varepsilon_b = K \cdot x \quad \dots \quad K = \frac{\varepsilon_b}{x}$$

Pro ε_b ve kterém jsou krajní vlákna na mezi kluzu σ_0 :

$$\sigma_0 = E_b \cdot \varepsilon_b \quad \dots \quad \varepsilon_b = \frac{\sigma_0}{E_b} \quad \dots \quad K = \frac{\sigma_0}{E_b x}$$

Poloha neutrální osy:



$$\varepsilon = K \cdot z$$

$$\varepsilon_b = K \cdot x \quad \dots \quad K = \frac{\varepsilon_b}{x}$$

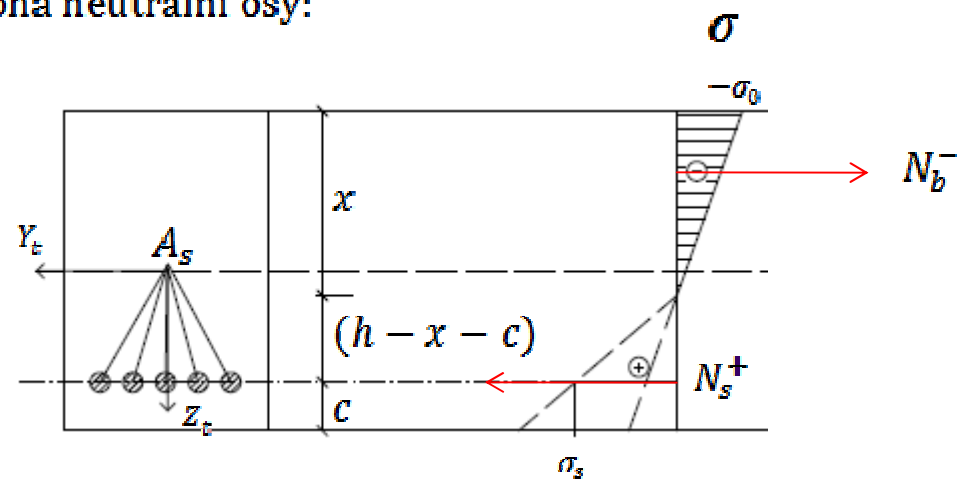
Pro ε_b ve kterém jsou krajní vlákna na mezi kluzu σ_0 :

$$\sigma_0 = E_b \cdot \varepsilon_b \quad \dots \quad \varepsilon_b = \frac{\sigma_0}{E_b} \quad \dots \quad K = \frac{\sigma_0}{E_b x}$$

Výpočet relativního prodloužení výztuže ε_s :

$$\varepsilon_s = K \cdot z \quad \dots \quad \varepsilon_s = \frac{\sigma_0}{E_b x} \cdot (h - x - c)$$

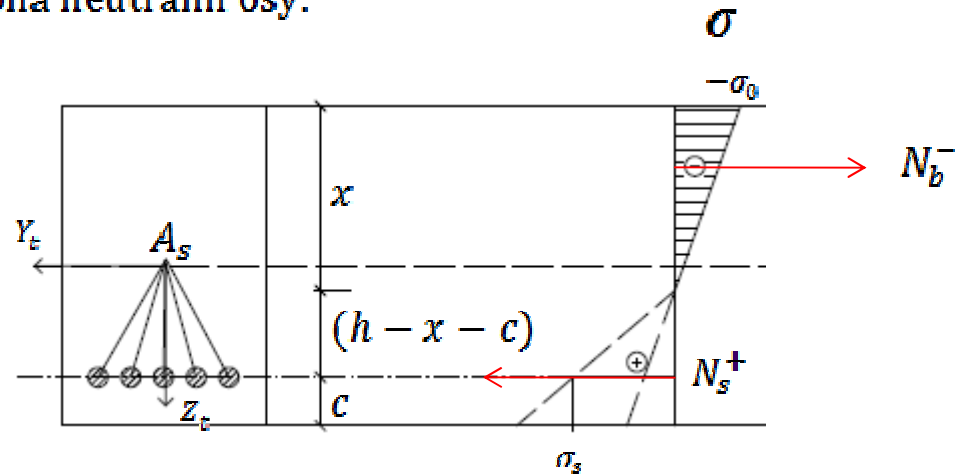
Poloha neutrální osy:



Napětí ve výztuži:

$$\sigma_s = E_s \cdot \varepsilon_s = E_s \cdot \frac{\sigma_0}{E_b x} \cdot (h - x - c)$$

Poloha neutrální osy:



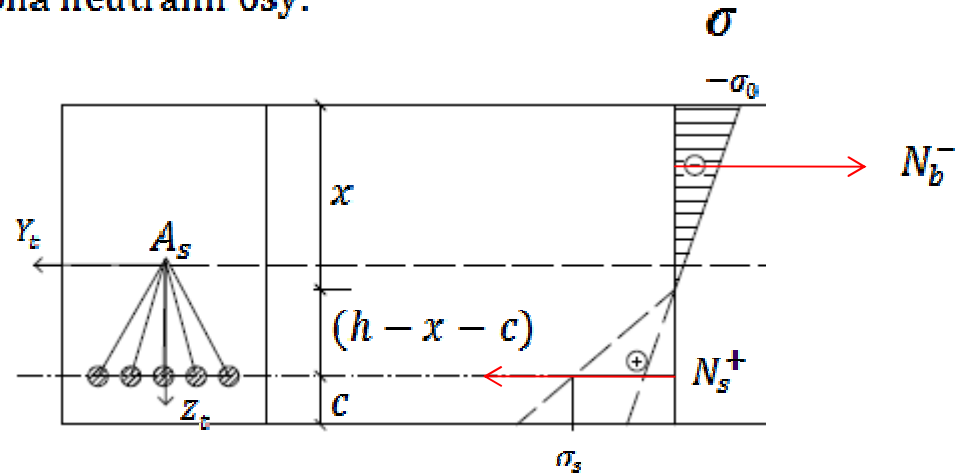
Napětí ve výztuži:

$$\sigma_s = E_s \cdot \varepsilon_s = E_s \cdot \frac{\sigma_0}{E_b x} \cdot (h - x - c)$$

Zavedení parametru "k" :

$$E_b = k E_s \quad \dots \quad \frac{E_b}{E_s} = k [-] \quad \dots \quad k < 1 \quad \dots \quad \sigma_s = \frac{\sigma_0}{kx} \cdot (h - x - c)$$

Poloha neutrální osy:



Napětí ve výztuži:

$$\sigma_s = E_s \cdot \varepsilon_s = E_s \cdot \frac{\sigma_0}{E_b x} \cdot (h - x - c)$$

Zavedení parametru "k" :

$$E_b = k E_s \quad \dots \quad \frac{E_b}{E_s} = k [-] \quad \dots \quad k < 1 \quad \dots \quad \sigma_s = \frac{\sigma_0}{kx} \cdot (h - x - c)$$

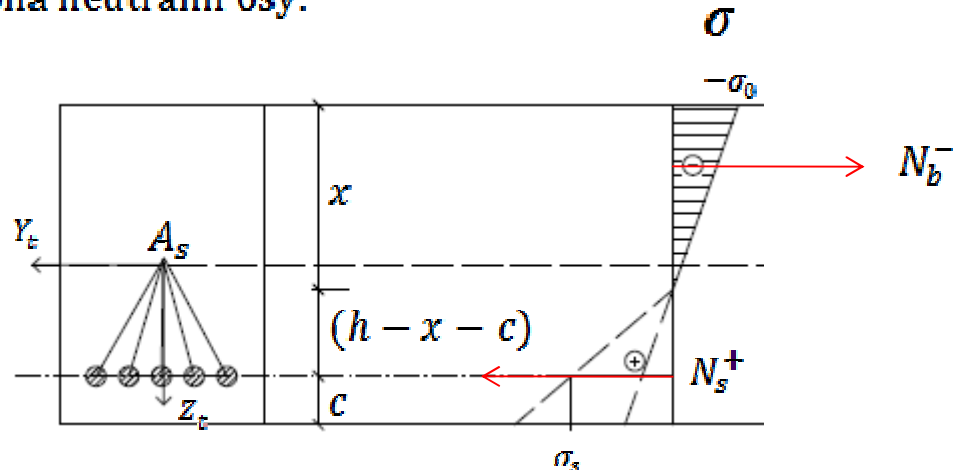
Síly N_s^+, N_b^- :

$$N_s^+ = \frac{\sigma_0}{kx} \cdot (h - x - c) A_s$$

$$\dots \quad N_s^+ = N_b^-$$

$$N_b^- = \frac{1}{2} b x \sigma_0$$

Poloha neutrální osy:



Napětí ve výztuži:

$$\sigma_s = E_s \cdot \varepsilon_s = E_s \cdot \frac{\sigma_0}{E_b x} \cdot (h - x - c)$$

Zavedení parametru "k" :

$$E_b = k E_s \quad \dots \quad \frac{E_b}{E_s} = k [-] \quad \dots \quad k < 1 \quad \dots \quad \sigma_s = \frac{\sigma_0}{kx} \cdot (h - x - c)$$

Síly N_s^+, N_b^- :

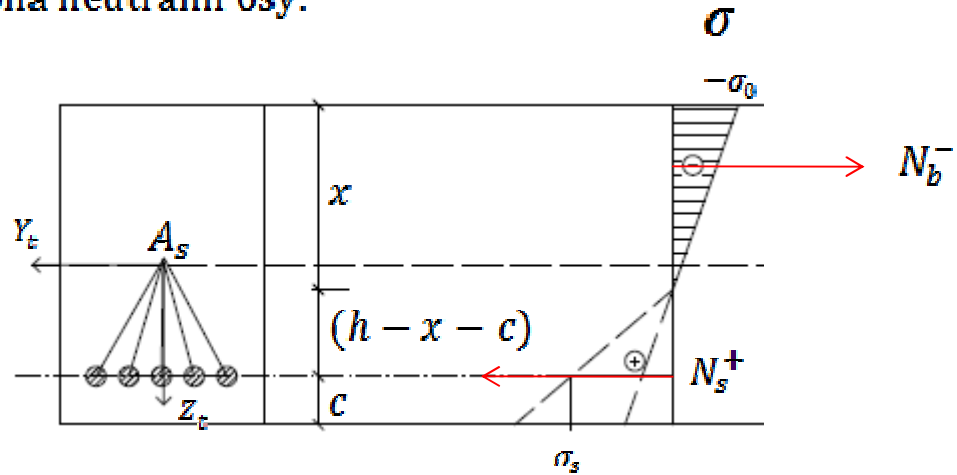
$$N_s^+ = \frac{\sigma_0}{kx} \cdot (h - x - c) A_s$$

$$N_b^- = \frac{1}{2} b x \sigma_0 \quad \dots \quad N_s^+ = N_b^- \quad \dots$$

Silová podmínka:

$$\frac{\sigma_0}{kx} \cdot (h - x - c) A_s = \frac{1}{2} b x \sigma_0$$

Poloha neutrální osy:



Napětí ve výztuži:

$$\sigma_s = E_s \cdot \varepsilon_s = E_s \cdot \frac{\sigma_0}{E_b x} \cdot (h - x - c)$$

Zavedení parametru "k" :

$$E_b = k E_s \quad \dots \quad \frac{E_b}{E_s} = k [-] \quad \dots \quad k < 1 \quad \dots \quad \sigma_s = \frac{\sigma_0}{kx} \cdot (h - x - c)$$

Síly N_s^+, N_b^- :

$$N_s^+ = \frac{\sigma_0}{kx} \cdot (h - x - c) A_s$$

$$N_b^- = \frac{1}{2} b x \sigma_0 \quad \dots \quad N_s^+ = N_b^- \quad \dots$$

Silová podmínka:

$$\frac{\sigma_0}{kx} \cdot (h - x - c) A_s = \frac{1}{2} b x \sigma_0$$

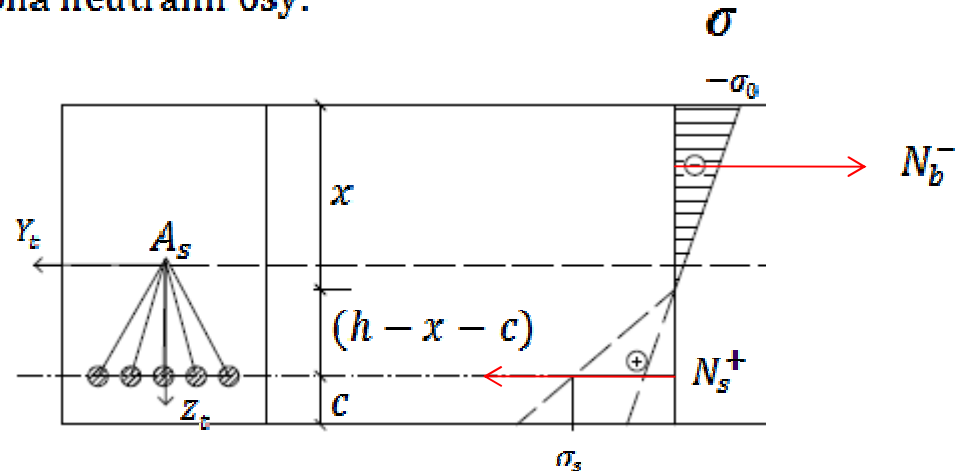
Obecná poloha N. O.:

$$x = ??$$

$$A_s = ??$$

Obecná plocha A_s :

Poloha neutrální osy:



Napětí ve výztuži:

$$\sigma_s = E_s \cdot \varepsilon_s = E_s \cdot \frac{\sigma_0}{E_b x} \cdot (h - x - c)$$

Zavedení parametru "k" :

$$E_b = k E_s \quad \dots \quad \frac{E_b}{E_s} = k [-] \quad \dots \quad k < 1 \quad \dots \quad \sigma_s = \frac{\sigma_0}{kx} \cdot (h - x - c)$$

Síly N_s^+ , N_b^- :

$$N_s^+ = \frac{\sigma_0}{kx} \cdot (h - x - c) A_s$$

$$N_b^- = \frac{1}{2} b x \sigma_0 \quad \dots \quad N_s^+ = N_b^- \quad \dots$$

Silová podmínka:

$$\frac{\sigma_0}{kx} \cdot (h - x - c) A_s = \frac{1}{2} b x \sigma_0$$

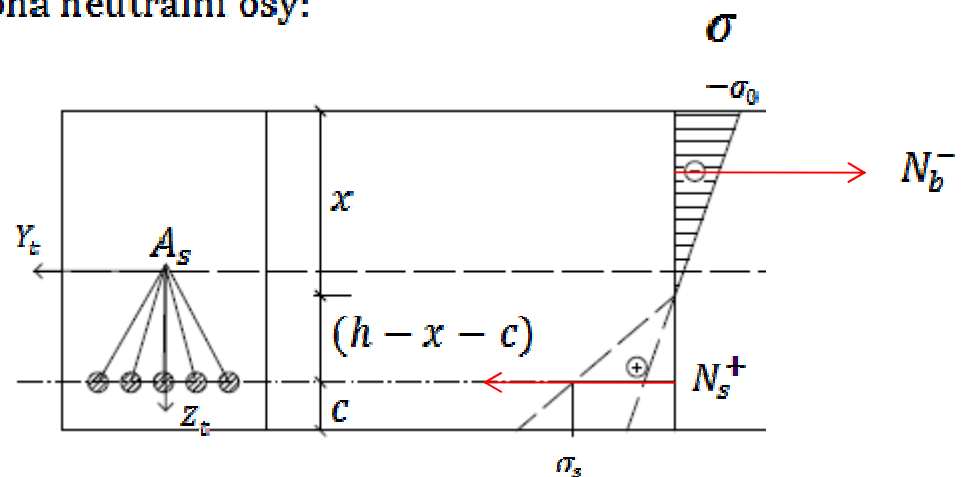
Obecná poloha N.O.:

$x = ??$

$A_s = ??$

Obecná plocha A_s :

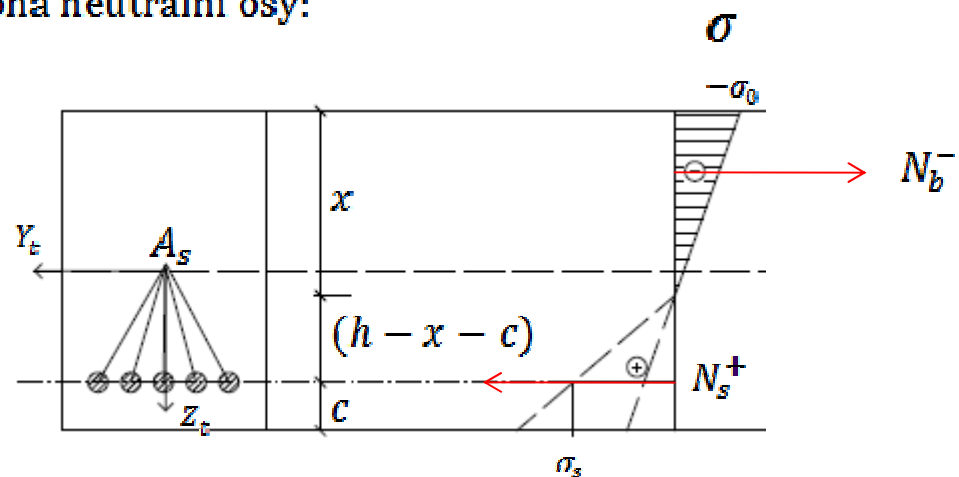
Poloha neutrální osy:



Podmínka obou materiálů na mezi kluzu:

$$A_s = \frac{N_s^+}{\sigma_s} = \frac{\sigma_0}{kx} \cdot \frac{(h - x - c)A_s}{\sigma_s}$$

Poloha neutrální osy:



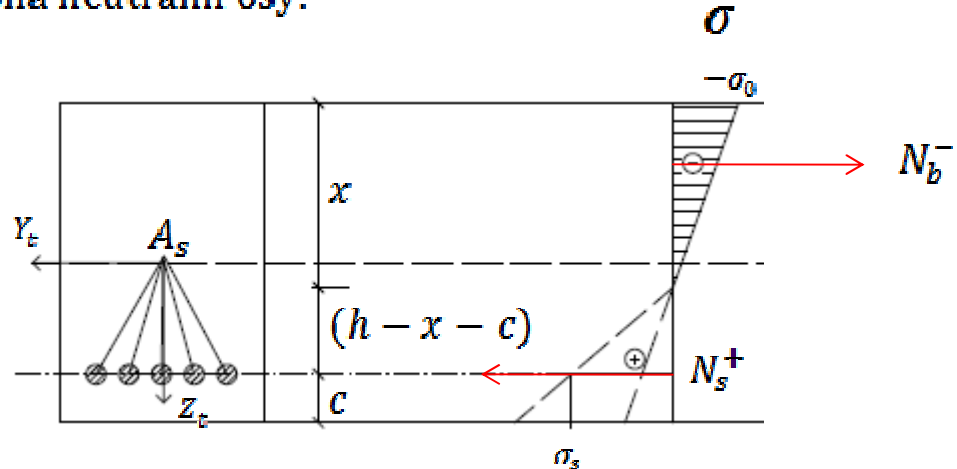
Podmínka obou materiálů na mezi kluzu:

$$A_s = \frac{N_s^+}{\sigma_s} = \frac{\sigma_0}{kx} \cdot \frac{(h - x - c)A_s}{\sigma_s}$$

Zavedení parametru " ψ " :

$$\sigma_s = \psi \sigma_0 \quad \dots \quad \psi = \frac{\sigma_s}{\sigma_0} \quad [-]$$

Poloha neutrální osy:



Podmínka obou materiálů na mezi kluzu:

$$A_s = \frac{N_s^+}{\sigma_s} = \frac{\sigma_0}{kx} \cdot \frac{(h - x - c)A_s}{\sigma_s} \quad \dots \quad \cancel{A_s} = \frac{(h - x - c)A_s}{\psi kx}$$

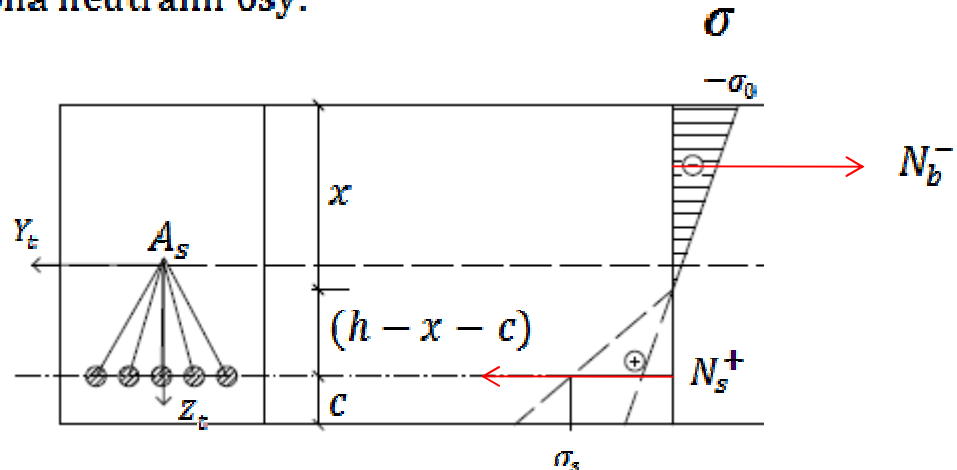
Upravená poloha neutrální osy:

$$x = \frac{h - c}{\psi k + 1}$$

Zavedení parametru "ψ" :

$$\sigma_s = \psi \sigma_0 \quad \dots \quad \psi = \frac{\sigma_s}{\sigma_0} \quad [-]$$

Poloha neutrální osy:



Podmínka obou materiálů na mezi kluzu:

$$A_s = \frac{N_s^+}{\sigma_s} = \frac{\sigma_0}{kx} \cdot (h - x - c) A_s \quad \dots \quad \cancel{A_s} = \frac{(h - x - c) A_s}{\psi k x}$$

Upravená poloha neutrální osy:

$$\boxed{x = \frac{h - c}{\psi k + 1}}$$

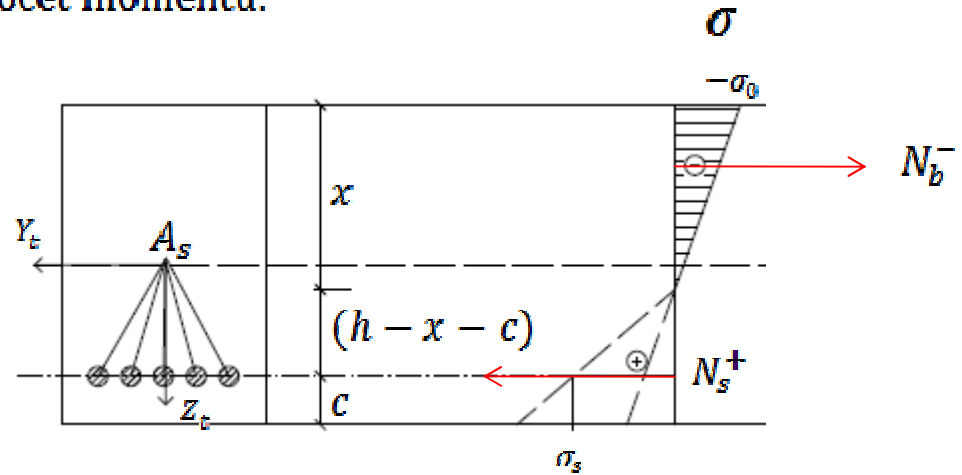
Zavedení parametru " ψ " :

$$\sigma_s = \psi \sigma_0 \quad \dots \quad \psi = \frac{\sigma_s}{\sigma_0} \quad [-]$$

Dosazení do silové podmínky

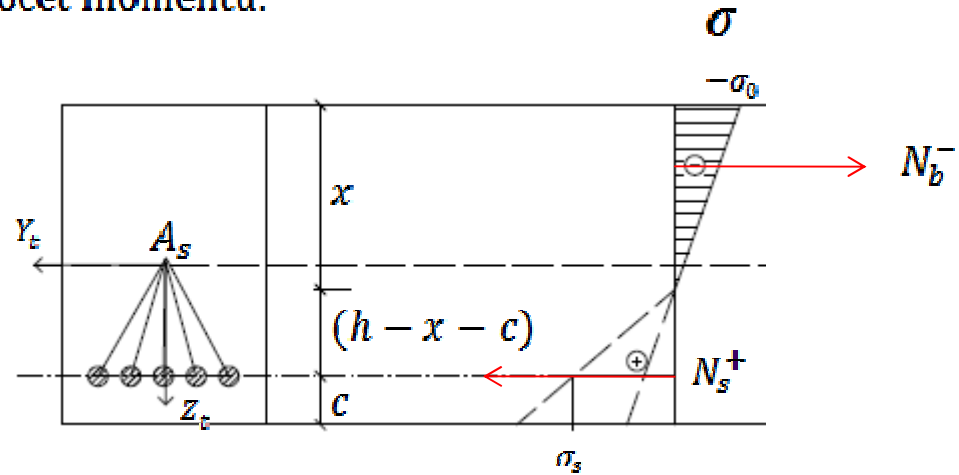
$$A_s = \frac{b(h - c)}{2\psi(\psi k + 1)}$$

Výpočet momentu:



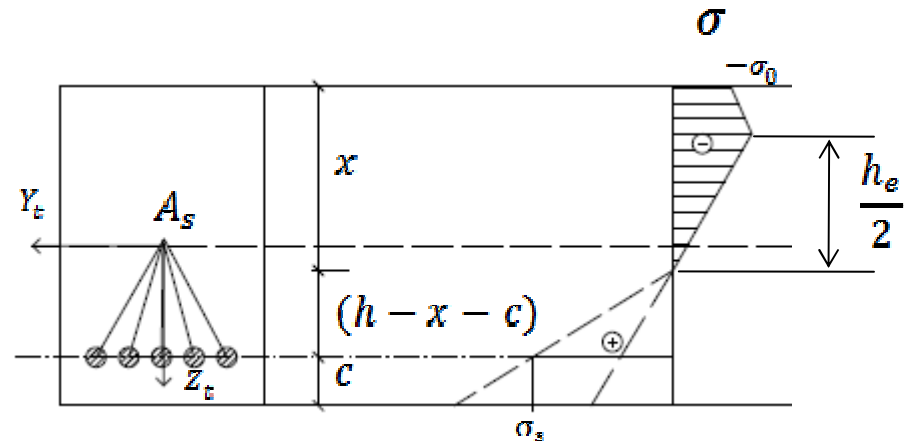
$$M_{el} = N_s^+ (h - x - c) + N_b^- \frac{2}{3} x$$

Výpočet momentu:



$$M_{el} = N_s^+ (h - x - c) + N_b^- \frac{2}{3} x \quad \dots \quad x = \frac{h - c}{\psi k + 1} \quad \dots \quad M_{el} = \frac{\sigma_0 b (h - c)^2 (3\psi k + 2)}{6(\psi k + 1)^2}$$

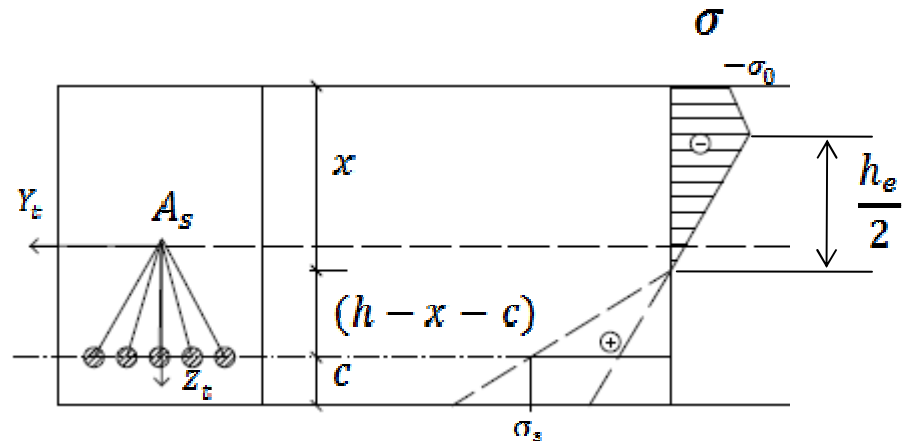
Výpočet momentu pro nadkriticky vyztužený železobetonový průřez:



Poloha neutrální osy: Silová podmínka:

$$N_b^- = \int_0^{\frac{h_e}{2}} (b\sigma_{el}) dz + \int_{\frac{h_e}{2}}^x (b\sigma_z) dz$$

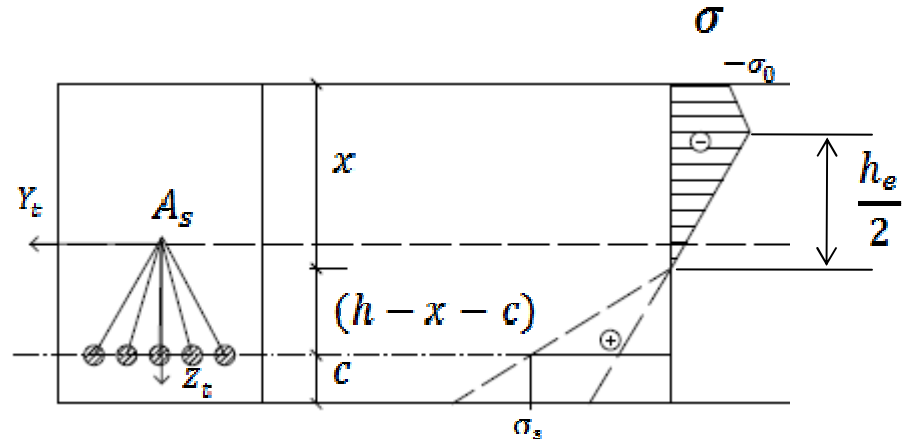
Výpočet momentu pro nadkriticky vyztužený železobetonový průřez:



Poloha neutrální osy: Silová podmínka:

$$N_b^- = \int_0^{\frac{h_e}{2}} (b\sigma_{el}) dz + \int_{\frac{h_e}{2}}^x (b\sigma_z) dz \quad \dots \quad h_e = \frac{2\epsilon_0}{\kappa} \quad \dots \quad \kappa = \frac{\sqrt[3]{4}\epsilon_0}{x} \approx 0,65\sigma_0 bx$$

Výpočet momentu pro nadkriticky vyztužený železobetonový průřez:

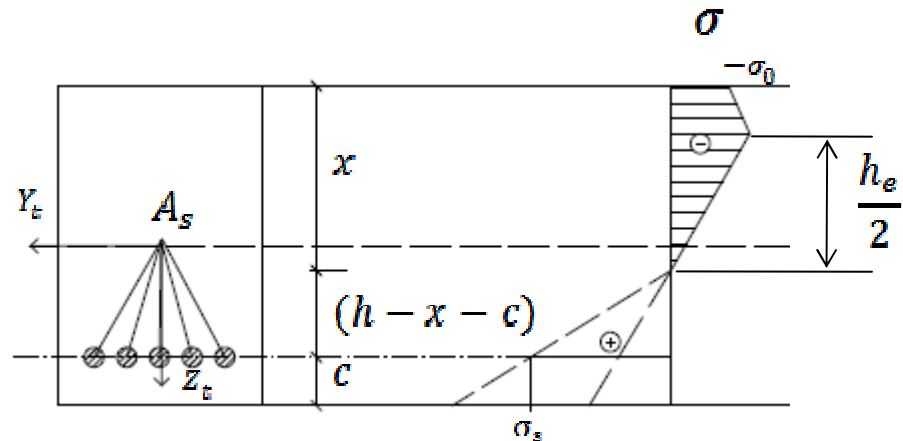


Poloha neutrální osy: Silová podmínka:

$$N_b^- = \int_0^{\frac{h_e}{2}} (b\sigma_{el}) dz + \int_{\frac{h_e}{2}}^x (b\sigma_z) dz \quad \dots \quad h_e = \frac{2\varepsilon_0}{\kappa} \quad \dots \quad \kappa = \frac{\sqrt[3]{4}\varepsilon_0}{x} \approx 0,65\sigma_0 bx$$

$$N_s^+ = \sigma_s A_s = E_s \kappa (h - x - c) A_s$$

Výpočet momentu pro nadkriticky vyztužený železobetonový průřez:

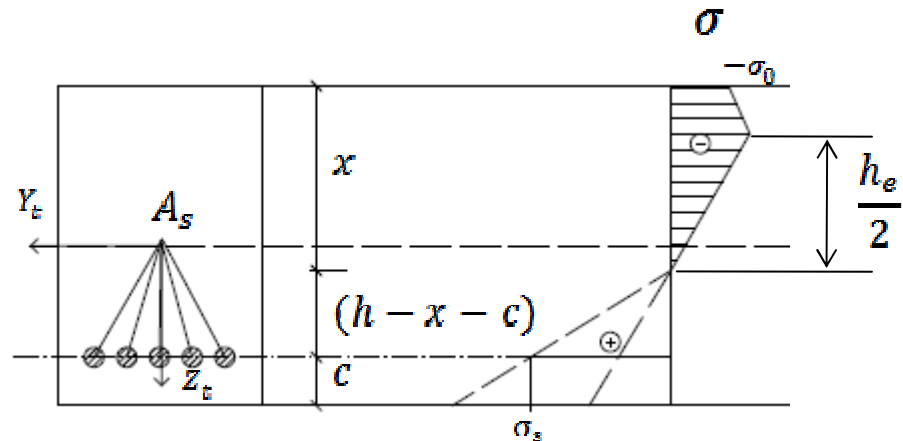


Poloha neutrální osy: Silová podmínka:

$$N_b^- = \int_0^{\frac{h_e}{2}} (b\sigma_{el}) dz + \int_{\frac{h_e}{2}}^x (b\sigma_z) dz \quad \dots \quad h_e = \frac{2\epsilon_0}{\kappa} \quad \dots \quad \kappa = \frac{\sqrt[3]{4}\epsilon_0}{x} \approx 0,65\sigma_0 bx$$

$$N_s^+ = \sigma_s A_s = E_s \kappa (h - x - c) A_s \quad \dots \quad \kappa = \frac{\sqrt[3]{4}\epsilon_0}{x} = \frac{\sqrt[3]{4}\sigma_0}{kx} (h - x - c) A_s$$

Výpočet momentu pro nadkriticky vyztužený železobetonový průřez:



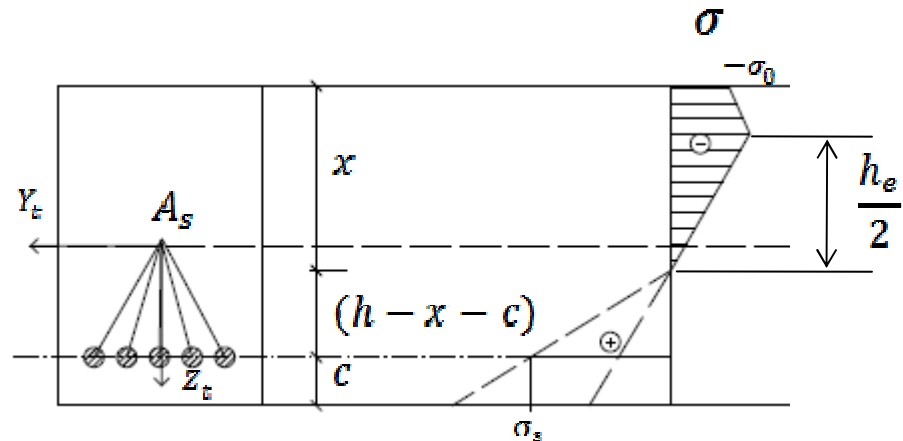
Poloha neutrální osy: Silová podmínka:

$$N_b^- = \int_0^{\frac{h_e}{2}} (b\sigma_{el}) dz + \int_{\frac{h_e}{2}}^x (b\sigma_z) dz \quad \dots \quad h_e = \frac{2\epsilon_0}{\kappa} \quad \dots \quad \kappa = \frac{\sqrt[3]{4}\epsilon_0}{x} \approx 0,65\sigma_0 bx$$

$$N_s^+ = \sigma_s A_s = E_s \kappa (h - x - c) A_s \quad \dots \quad \kappa = \frac{\sqrt[3]{4}\epsilon_0}{x} = \frac{\sqrt[3]{4}\sigma_0}{kx} (h - x - c) A_s$$

$$N_s^+ = N_b^- \quad \dots \quad \text{obecná poloha N.O., obecná plocha výztuže}$$

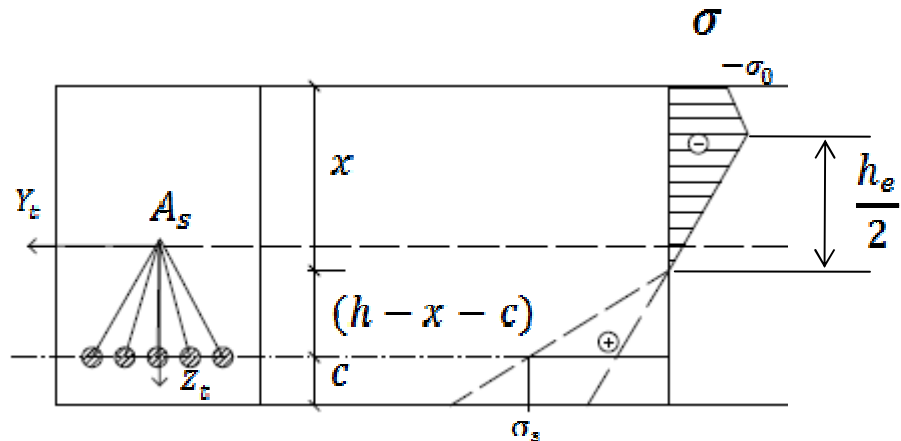
Výpočet momentu pro nadkriticky vyztužený železobetonový průřez:



Podmínka pro výztuž na mezi kluzu:

$$A_s = \frac{N_s^+}{\sigma_s}$$

Výpočet momentu pro nadkriticky vyztužený železobetonový průřez:



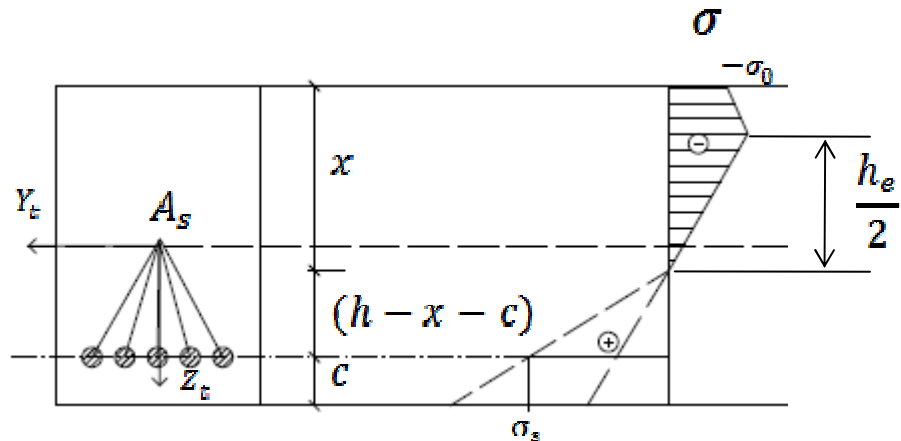
Podmínka pro výztuž na mezi kluzu:

$$A_s = \frac{N_s^+}{\sigma_s} \quad \dots \quad \cancel{A_s} = \frac{\sqrt[3]{4}(h - x - c)A_s}{\psi k x}$$

Upravená poloha neutrální osy:

$$x = \frac{\sqrt[3]{4}(h - c)}{\psi k + \sqrt[3]{4}}$$

Výpočet momentu pro nadkriticky vyztužený železobetonový průřez:



Podmínka pro výztuž na mezi kluzu:

$$A_s = \frac{N_s^+}{\sigma_s} \quad \dots \quad \cancel{A_s} = \frac{\sqrt[3]{4}(h-x-c)A_s}{\psi k x} \quad \dots$$

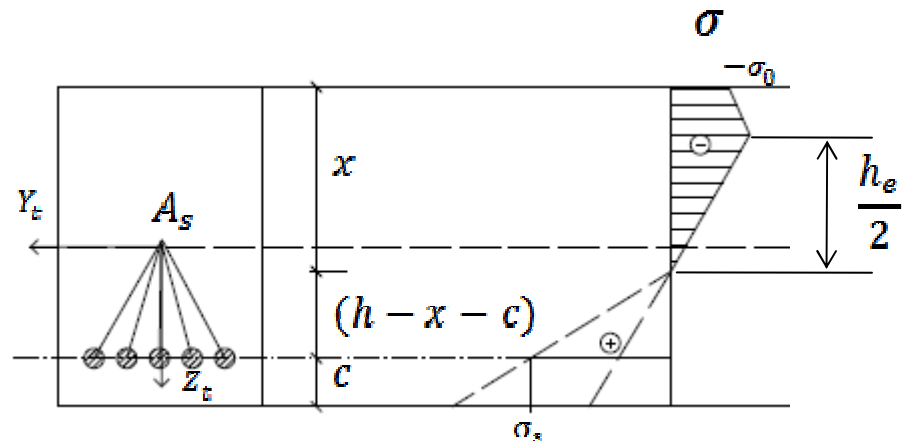
Upravená poloha neutrálnej osy:

$$x = \frac{\sqrt[3]{4}(h-c)}{\psi k + \sqrt[3]{4}}$$

Dosazení do silové podmínky:

$$A_s \approx \frac{b(h-c)}{\psi(\psi k + \sqrt[3]{4})}$$

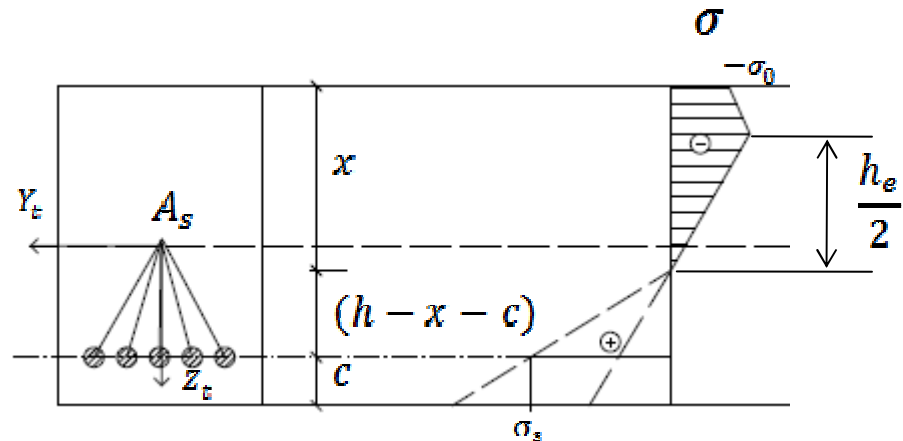
Výpočet momentu pro nadkriticky vyztužený železobetonový průřez:



Moment od tlačené části:

$$M_b = \int_0^{\frac{h_e}{2}} (b\sigma_{el} z) dz + \int_{\frac{h_e}{2}}^x (b\sigma_z z) dz$$

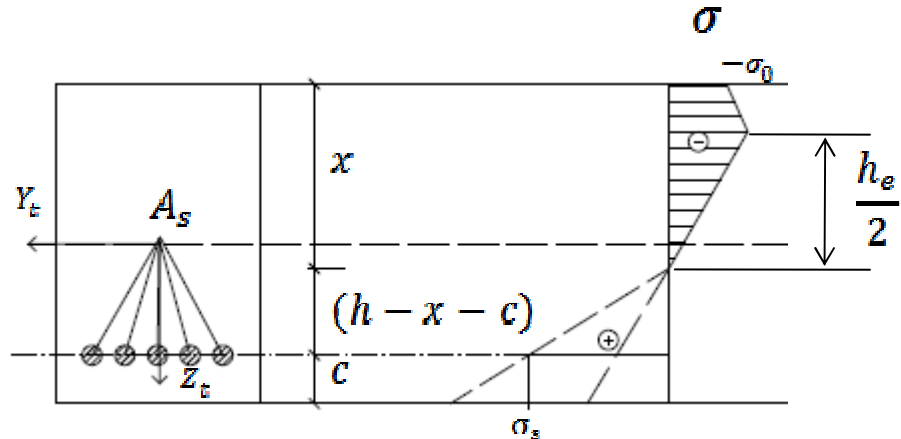
Výpočet momentu pro nadkriticky vyztužený železobetonový průřez:



Moment od tlačené části:

$$M_b = \int_0^{\frac{h_e}{2}} (b\sigma_{el} z) dz + \int_{\frac{h_e}{2}}^x (b\sigma_z z) dz \quad \dots \quad h_e = \frac{2\epsilon_0}{\kappa} \quad \dots \quad \kappa = \frac{\sqrt[3]{4}\epsilon_0}{x} \quad \approx 0,4\sigma_0 bx^2$$

Výpočet momentu pro nadkriticky vyztužený železobetonový průřez:



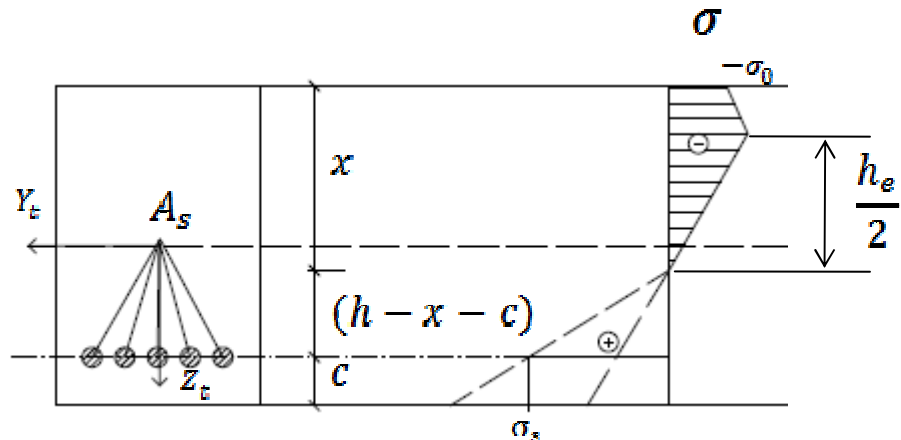
Moment od tlačené části:

$$M_b = \int_0^{\frac{h_e}{2}} (b\sigma_{el} z) dz + \int_{\frac{h_e}{2}}^x (b\sigma_z z) dz \quad \dots \quad h_e = \frac{2\epsilon_0}{\kappa} \quad \dots \quad \kappa = \frac{\sqrt[3]{4}\epsilon_0}{x} \quad \approx 0,4\sigma_0 bx^2$$

Moment od tažené části:

$$M_s = N_s^+ (h - x - c)$$

Výpočet momentu pro nadkriticky vyztužený železobetonový průřez:



Moment od tlačené části:

$$M_b = \int_0^{\frac{h_e}{2}} (b\sigma_{el}z)dz + \int_{\frac{h_e}{2}}^x (b\sigma_z z)dz \quad \dots \quad h_e = \frac{2\epsilon_0}{\kappa} \quad \dots \quad \kappa = \frac{\sqrt[3]{4}\epsilon_0}{x} \quad \approx 0,4\sigma_0 bx^2$$

Moment od tažené části:

$$M_s = N_s^+ (h - x - c)$$

Celkový maximální moment $M_{max} = M_b + M_s$:

$$M_{max} \approx \frac{\sigma_0 b (h - c)^2 (\psi k + 1)}{(\psi k + \sqrt[3]{4})^2}$$

Závěr:

Plastická rezerva:

$$\frac{M_{\max}}{M_{el}} = \frac{6(\psi k + 1)^3}{(3\psi k + 2)(\psi k + \sqrt[3]{4})^2}$$

Síla působící na konstrukci:

$$M = \frac{FL}{4} \quad \dots \quad F = \frac{4M}{L}$$

